

¿Es la nebulosa de Orión luz superradiada de la nebulosa de De Mairan? Conjetura holográfica M43-M42-Sh2-279 y Subconjetura del tercer jet.

Héctor Gengis Arellano Montiel, México, Marzo 2021 - Junio 2023.

Índice.

I. Introducción.

I. 1. Puntos fríos.

I. 2. Formaciones similares de polvo y gas.

I. 3. M42 como luz expandida, girada y volteada de M43, posible indicio de supersimetría.

I. 4. Espacio-tiempo entre Sh2-279 y M42 como medio inhomogéneo para propagación de onda.

I. 5. Sh2-279 posible zona de recolimación, comparación con jet de agujero negro supermasivo y sus desintegraciones.

I. 6. Conjetura microcuasar-microblazar.

I. 7. Hacia una estimación de masa.

I. 8. ¿Es la barra de Orión el contra jet de Sh2-279?

I. 9. Hipotética perspectiva de jet y contra jet.

I. 10. Diagrama de Penrose-Carter como incrustado en AdS5.

I. II. Anexos Matemáticos.

I. II. 1. Hipotética transformación conforme.

I. II. 2. Sh2-279 como radiación en tesseracto y la flecha del tiempo. Hacia una descripción geométrica.

I. II. 3. Conos de luz Minkowski 4D y $AdS_{n \geq 5}$ con λ negativo.

I. II. 4. Hipotéticos casos de Reissner-Nordström y Kerr-Newman con censura cósmica y evidencia empírica de horizontes de sucesos no fusionados.

II. Conjetura. Sh2-279 como jet holográfico por efecto Cherenkov inverso de disco de acreción entre M43 y M42.

II. 1. Todo jet de singularidad es una holografía de su evento.

II. 2. Sh2-279 como jet holográfico de suceso M43-M42.

II. 3. Modelo $AdS_{n \geq 5}$ con constante cosmológica negativa por debajo de la longitud de Planck, singularidad rotatoria entre M43, Sh2-279 y M42.

II. 4. Dualidad Maldacena. Conservación de la información por jet de singularidad superradiante o imagen 2D de acontecimiento 4D.

II. 5. Singularidad giratoria, posible superradiación y universo $AdS_{n \geq 5}$ con anisotropía.

II. 6. Hipotética velocidad superlumínica general por agujero de gusano, sin violación local a la velocidad de la luz, percibida como luz adelantada a su fuente.

II. 7. Modelo unificado de núcleos galácticos activos contra hipotético micro blazar-cuasar.

II. 8. Hipotético caso de Kerr-Newman con censura cósmica y arquitectura Hs-S-Hs o de horizontes de sucesos no fusionados por preponderancia de masa.

II. 9. Hipotética filogenia de singularidades deducida por jets.

II. 10. Hipotéticas subzonas de recolimación.

III. Posibles comprobaciones y Teoría M.

III. 1. ¿Estrella tipo O capturada por Kerr?

III. 2. Posible Proceso Penrose de luz de M43 subdividido en holograma dextrógiro M42 y su efecto Cherenkov o jet levógiro Sh2-279.

III. 3. Sh2-279 como Jet levógiro e indicios de gravedad arcoíris en análisis de longitudes de onda.

III. 4. Especulación físico-química por astronomía de infrarrojo lejano. Posible nucleosíntesis por espalación de rayos cósmicos revelada por Kerr.

III. 5. Ejemplo de evidencia empírica. Serafino (2021).

III. 6. Evidencia empírica, Claro (2021) vs Capell (2023).

III. 7. Evidencia empírica, autor desconocido (2023).

III. 8. Conjetura de Kerr-Newman masa estelar a intermedia y su posible decaimiento en Reissner-

Nordström por pérdida de momento angular.

III. 9. Hipotético decaimiento Reissner–Nordström a Schwarzschild, jets vs burbujas de Fermi.

III. 10. Sh2-279 y Sh2-264 como el mismo microcuasar.

III. 11. Hipotéticas trayectorias de fotones en proceso Penrose y su ruptura de simetría.

III. 12. Hipotético espacio-tiempo entorno a Kerr como metamaterial doble negativo.

III. 13. Hipotéticas condiciones de impacto.

III. II. Hacia una teoría M.

III. II. 1. Correspondencia AdS-CFT en Sh2-279.

III. II. 2. Isotropía de la radiación de fondo de microondas e hipotético eje del mal como evidencia de flecha del tiempo supersimétrica y universo $AdS_n \geq 5$.

IV. Subconjetura del tercer jet.

IV. 1. Temperaturas y longitudes de onda en subconjetura del tercer jet.

IV. 2. Subconjetura de estelares a intermedio.

IV. 3. M43, M42 y Sh2-279 , estrellas y galaxias censuradas.

IV. 4. Tercer jet como microblazar Sh2-276, estrellas y galaxias censuradas.

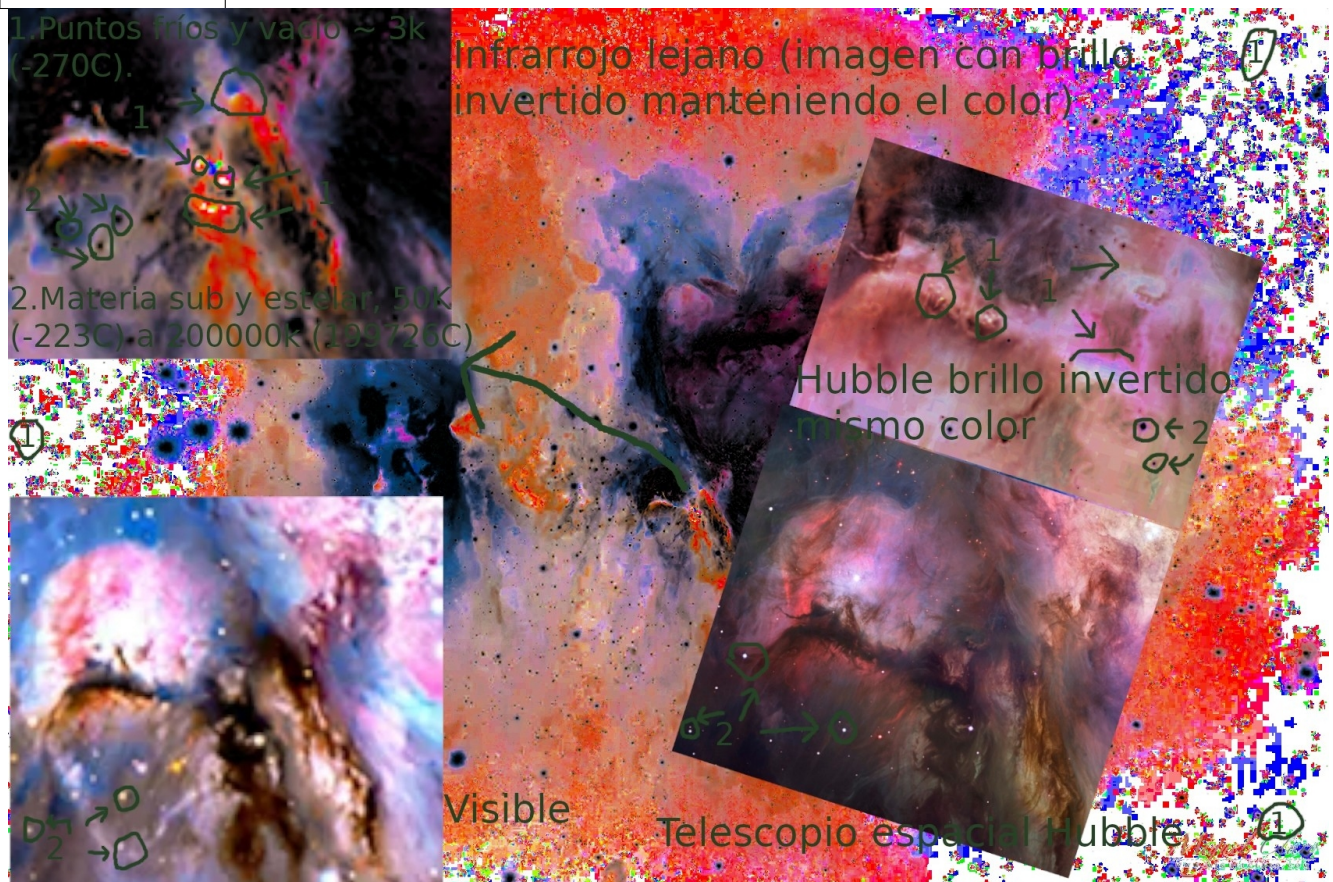
IV. 5. Especulación 5D. Estrellas locales y galaxias de fondo censuradas.

Introducción.

El presente ejercicio especulativo está formado por un conjunto de ideas heterogéneas en distintos grados especulativas, desde las más aceptadas por la comunidad científica a las menos, sólo para intentar dar una explicación coherente a una inquietante percepción personal.

Este cuento no es para quien con ignorancia y soberbia corrige y hasta reprime, sea en cambio para quien imagina y sueña. Para todo espíritu manso en la paz pero indomable en la adversidad.

I. 1. Puntos fríos.



I. 2. Formaciones similares de polvo y gas.



I. 3. M42 como luz expandida, girada y volteada de M43, posible indicio de supersimetría.



¿Recolimación?

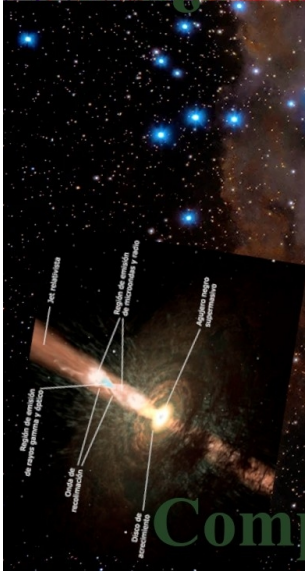
Desintegraciones

Comparación con supermasivos

Miguel Alvar
www.miguelalvar.com



¿Recolimación?

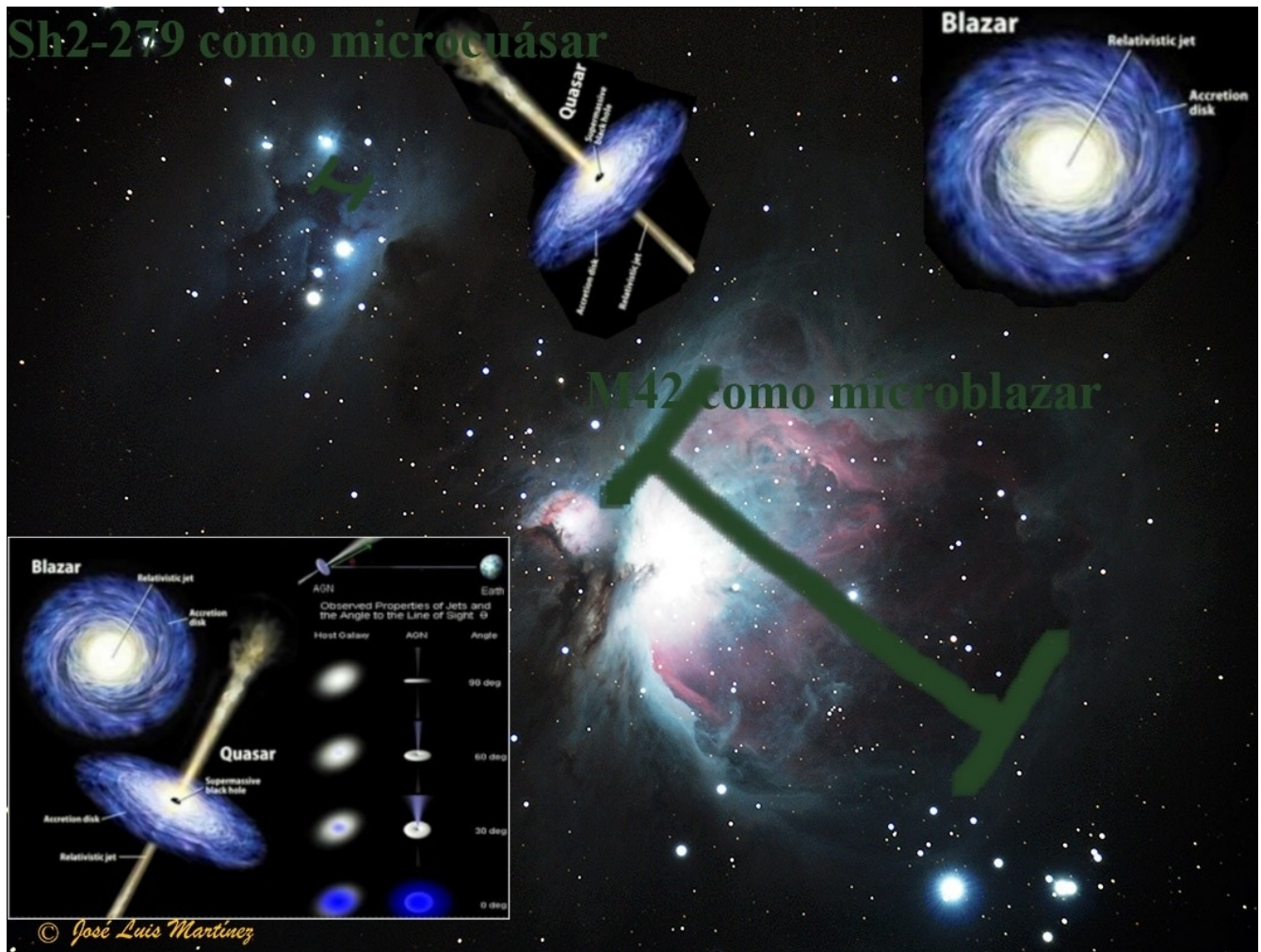


Desintegraciones

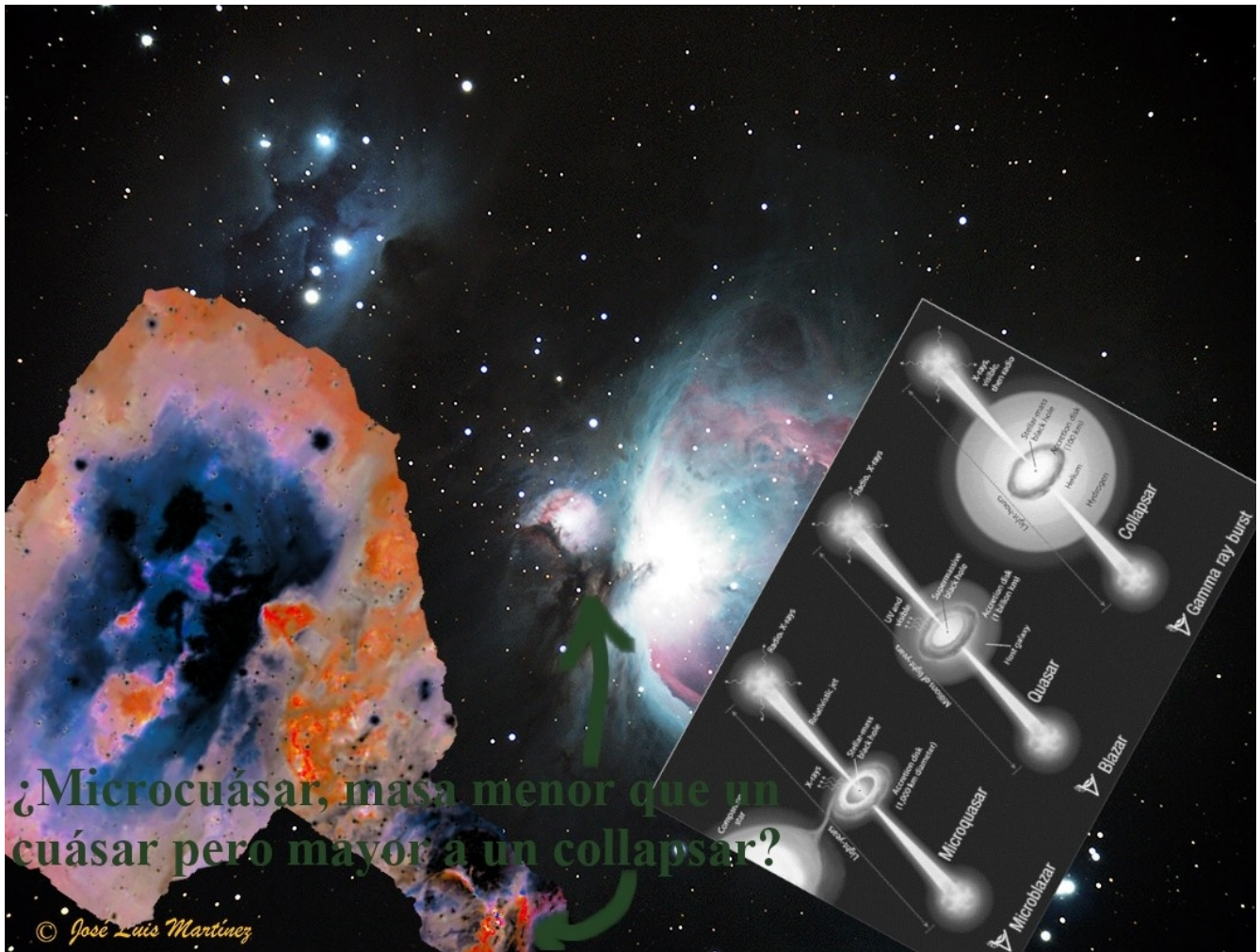
Comparación con supermasivos

Miguel Claro
WWW.MIGUELCLARO.COM

I. 6. Conjetura microcuasar-microblazar.



I. 7. Hacia una estimación de masa.



Parte de la luz y polvo de M43 como material de disco de acreción en lugar de estrella compañera.

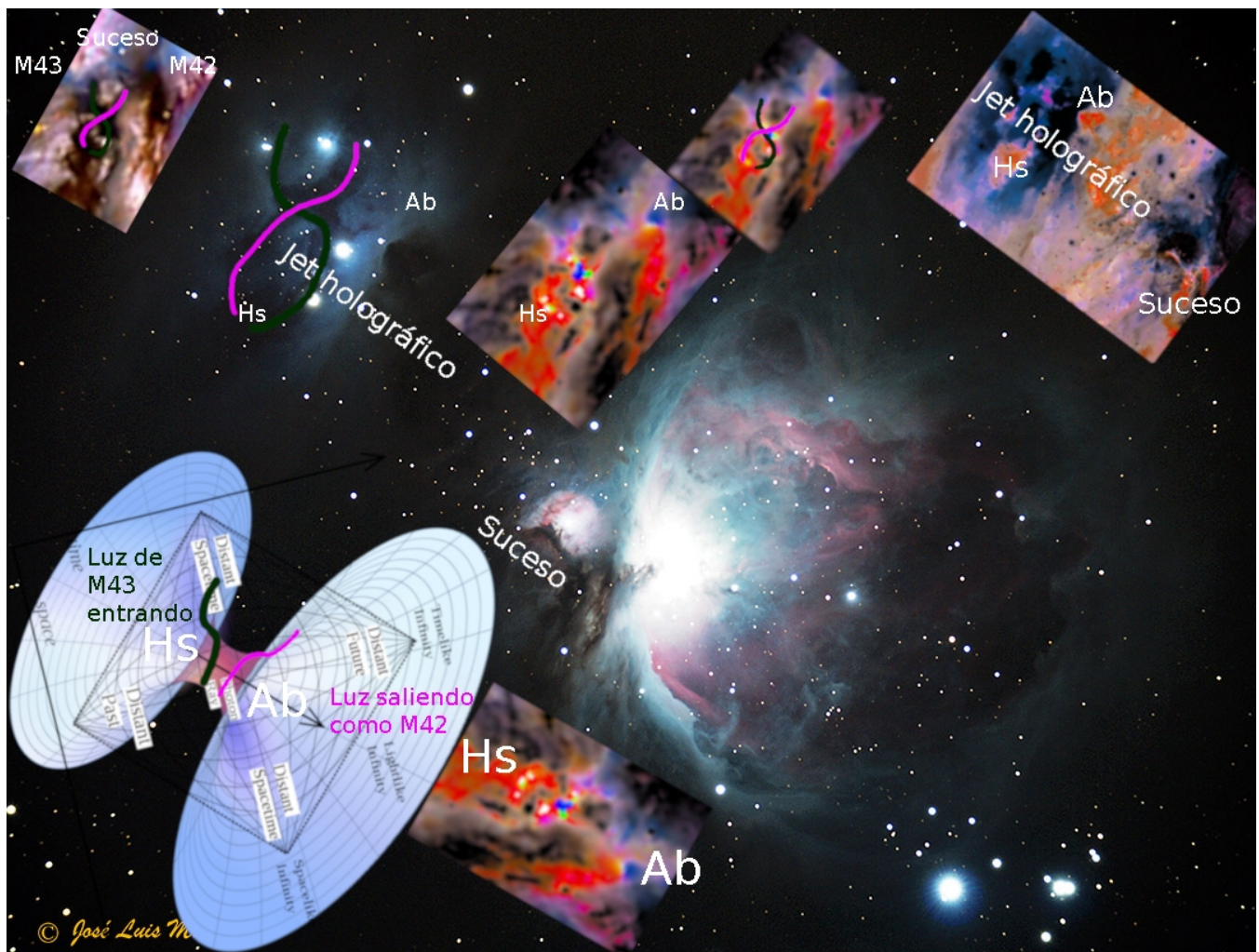
I. 8. ¿Es la barra de Orión el contra jet de Sh2-279?



I. 9. Hipotética perspectiva de jet y contra jet.

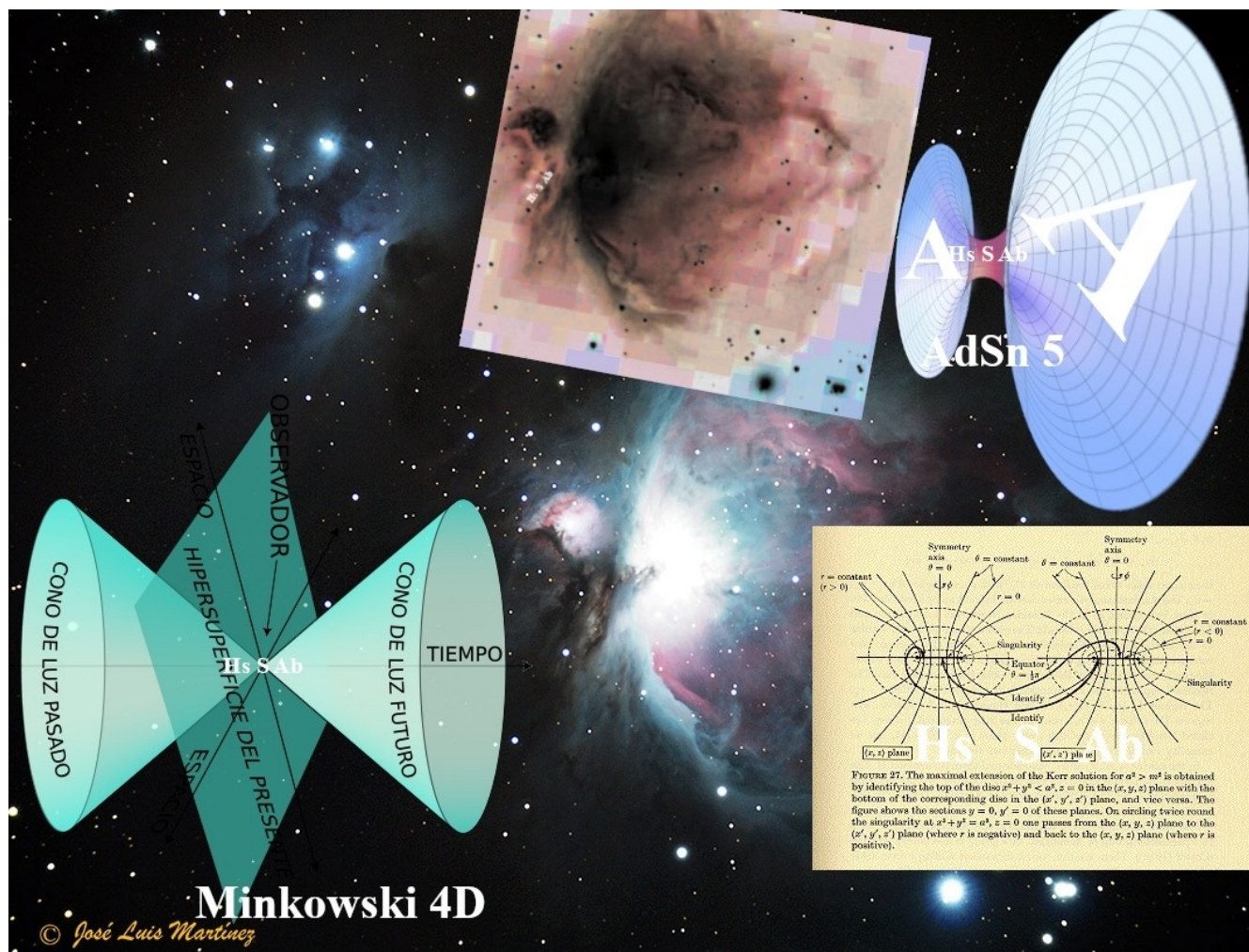


I. 10. Diagrama de Penrose-Carter como incrustado en AdS5.

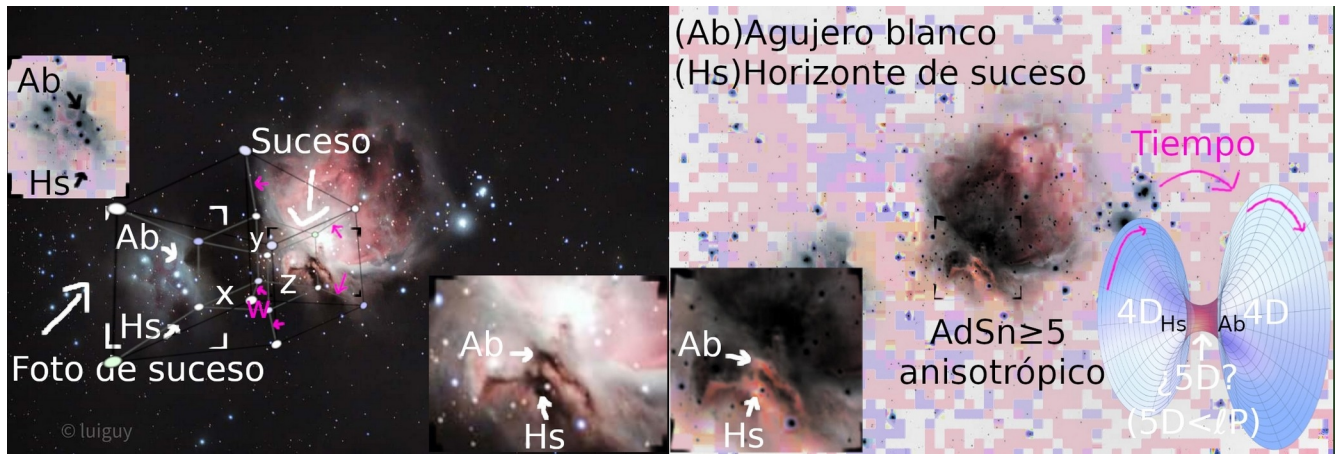


I. II. Anexos matemáticos.

I. II. 1. Hipotética transformación conforme.



I. II. 2. Sh2-279 como radiación en tesseracto y la flecha del tiempo. Hacia una descripción geométrica.



Todo lo que ocurre en cuatro dimensiones (objetos 3D en movimiento, historias o sucesos) puede ser descrito con información 2D de un hiperespacio 5D. En la imagen, Sh2-279 como información radiada en hiperpared de cuarto 5D (techo), mientras la singularidad y sus geodésicas de entrada y salida pueden ser vistas como el piso.

I. II. 3. Conos de luz Minkowski 4D y AdSn≥5 con lambda negativo.

61 - Curso de Relatividad General [Anti de Sitter]

OBJETIVO: construir métrica
espaciotiempo $R = \text{constante} < 0$
solución EINSTEIN $\Lambda < 0$
VACÍO

TIEMPO

CONO DE LUZ FUTURO

1-esfera
 $R^2 d\theta^2$
 $x^2 + y^2 = R^2$

2-esfera
 $R^2 (d\phi^2 + \sin^2 \phi d\rho^2)$
 $x^2 + y^2 + z^2 = R^2$

3-esfera
 $R^2 [d\rho^2 + \cos^2 \rho (d\alpha^2 + \sin^2 \alpha d\beta^2)]$
 $x^2 + y^2 + z^2 + w^2 = R^2$

HIPERSUPERFICIE DEL PRESENTE

ESPACIO

OBSERVADOR

CONO DE LUZ PASADO

Desplázate hacia abajo para obtener más información

18:12 / 51:23

61 - Curso de Relatividad General [Anti de Sitter]

OBJETIVO: construir métrica
espaciotiempo $R = \text{constante} < 0$
solución EINSTEIN $\Lambda < 0$
VACÍO

TIEMPO

CONO DE LUZ FUTURO

1-esfera
 $R^2 d\theta^2$
 $x^2 + y^2 = R^2$

2-esfera
 $R^2 (d\phi^2 + \sin^2 \phi d\rho^2)$
 $x^2 + y^2 + z^2 = R^2$

3-esfera
 $R^2 [d\rho^2 + \cos^2 \rho (d\alpha^2 + \sin^2 \alpha d\beta^2)]$
 $x^2 + y^2 + z^2 + w^2 = R^2$

HIPERSUPERFICIE DEL PRESENTE

ESPACIO

OBSERVADOR

CONO DE LUZ PASADO

Desplázate hacia abajo para obtener más información

18:12 / 51:23

I. II. 4. Hipotéticos casos de Reissner-Nordström y Kerr-Newman con censura cósmica y evidencia empírica de horizontes de sucesos no fusionados.

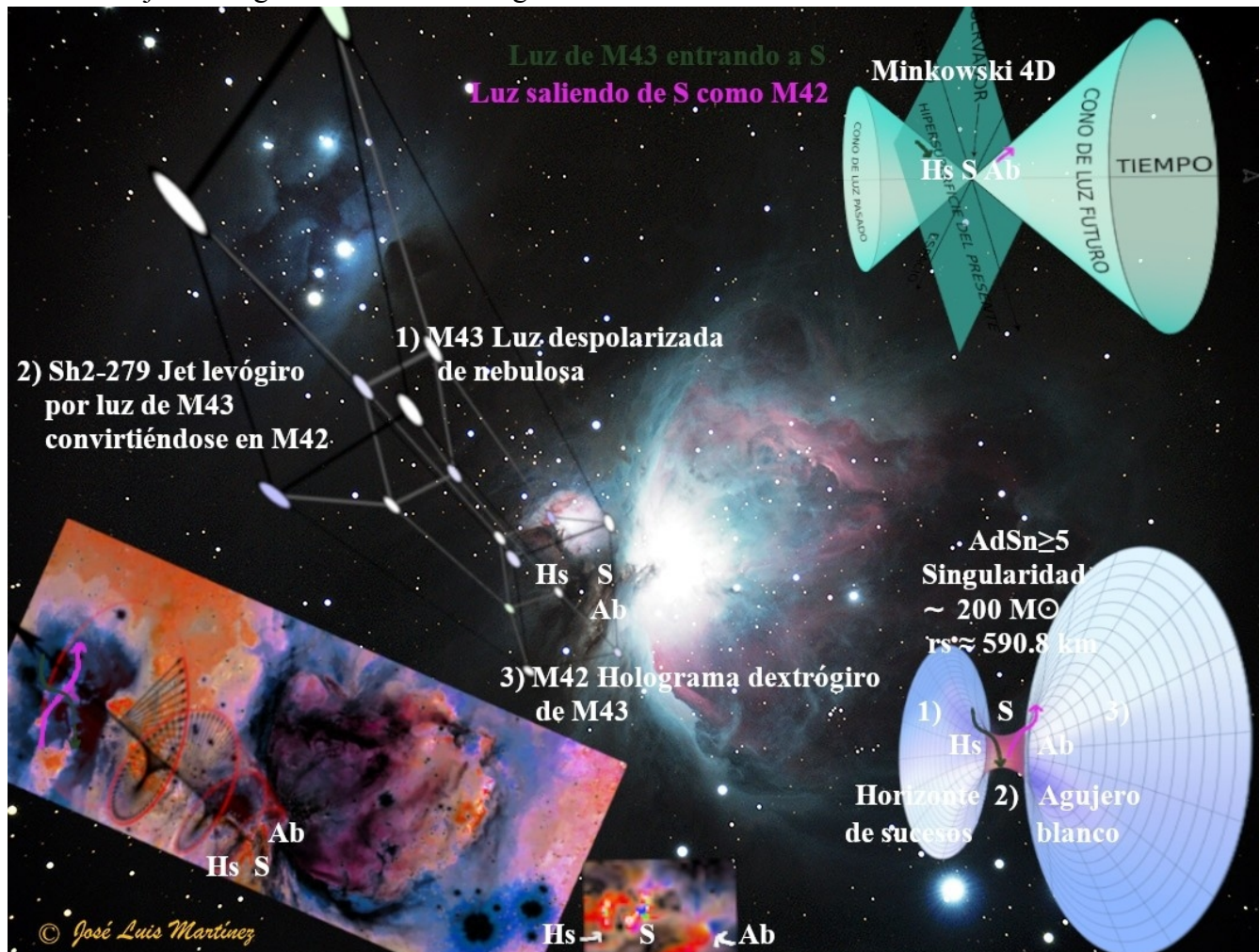
Kerr-Newman
 $M \neq 0$
 $Q \neq 0$
 $J \neq 0$
 $r_g = \frac{2Mm}{JQ}$
 Caso con censura cósmica
 $|Q| \wedge J < M$
 y evidencia empírica de horizontes de suceso no fusionados

Reissner-Nordström
 $M \neq 0$
 $Q \neq 0$
 $J = 0$
 $r = r_{\pm} = \frac{G}{c^2} \left(M \pm \sqrt{M^2 - \frac{Q^2}{4\pi\epsilon_0 G}} \right)$
 Caso con censura cósmica
 $|Q/2\sqrt{\pi\epsilon_0 G}| < M$

© José Luis Martínez

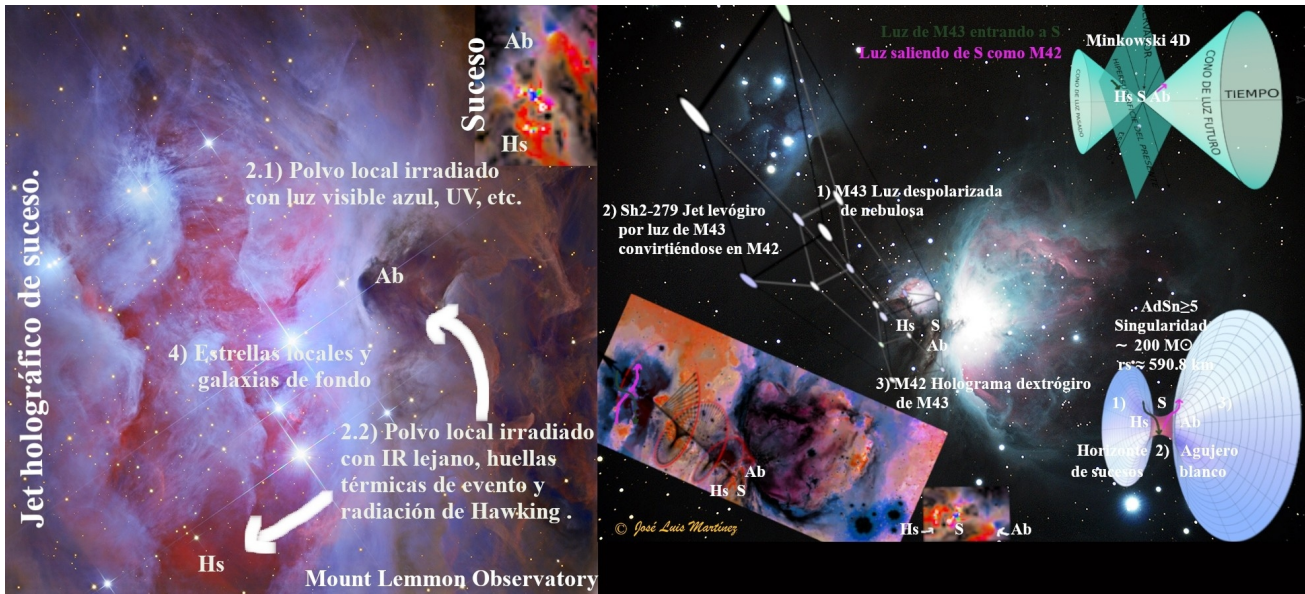
II. Conjetura. Sh2-279 como jet holográfico por efecto Cherenkov inverso de disco de acreción entre M43 y M42.

II. 1. Todo jet de singularidad es una holografía de su evento.



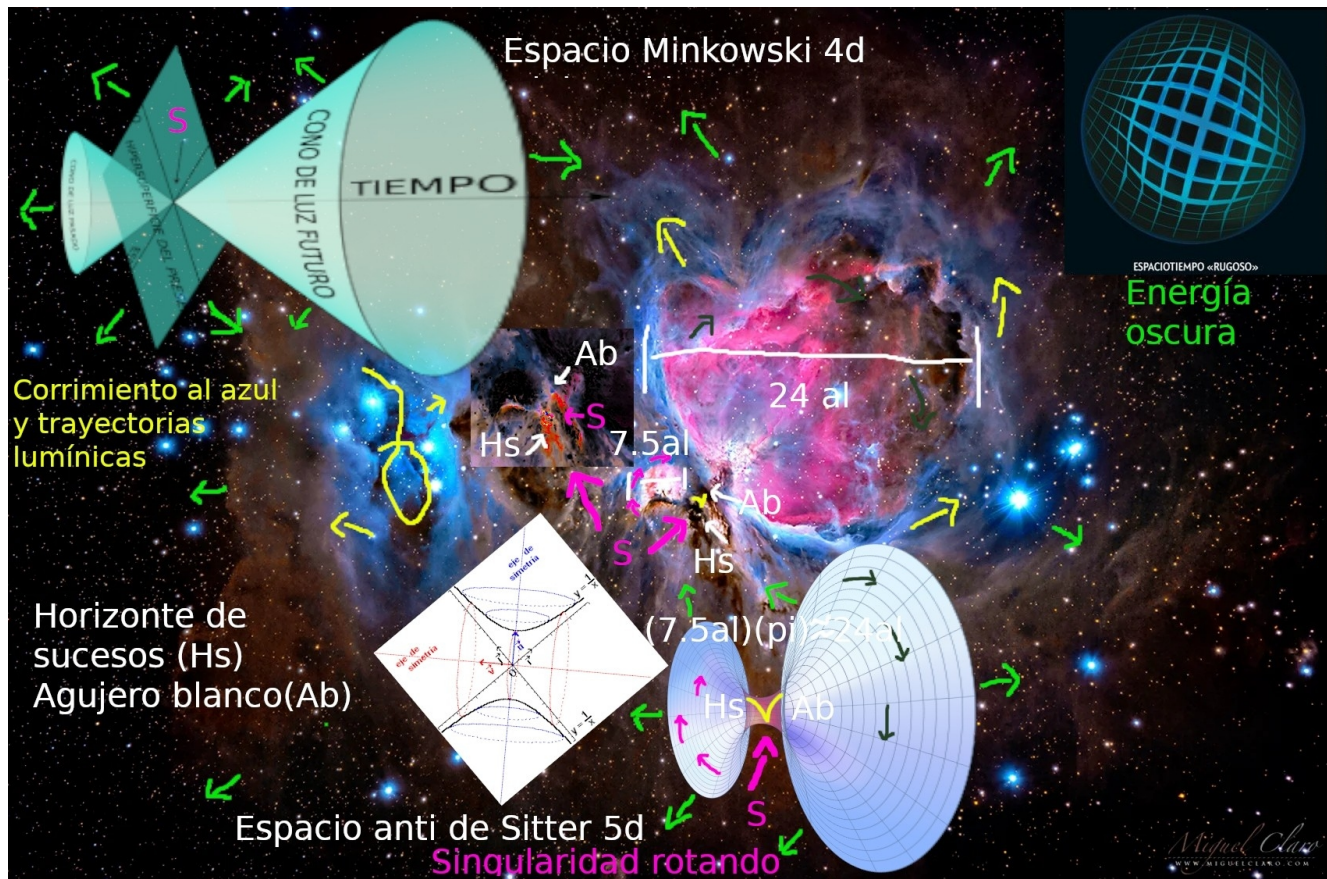
En la imagen, Sh2-279 como jet levógiro en superficie de tesseracto.

II. 2. Sh2-279 como jet holográfico de suceso M43-M42.

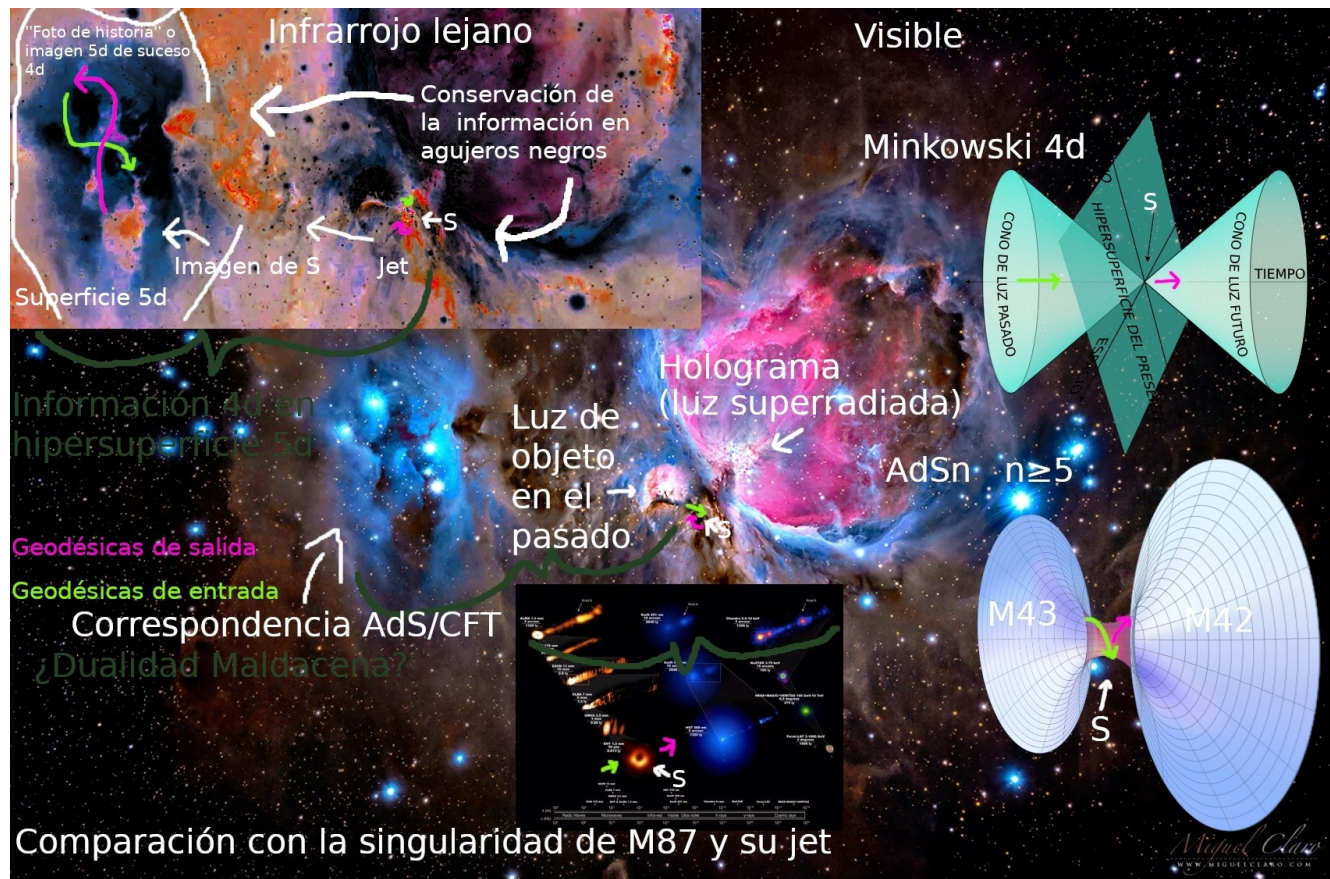


M42 como futuro o luz superradiada de M43 y Sh2-279 el jet con información o mapa detallado de ese posible viaje superlumínico o en el tiempo a través de una dimensión compactificada por debajo de la longitud de Planck.

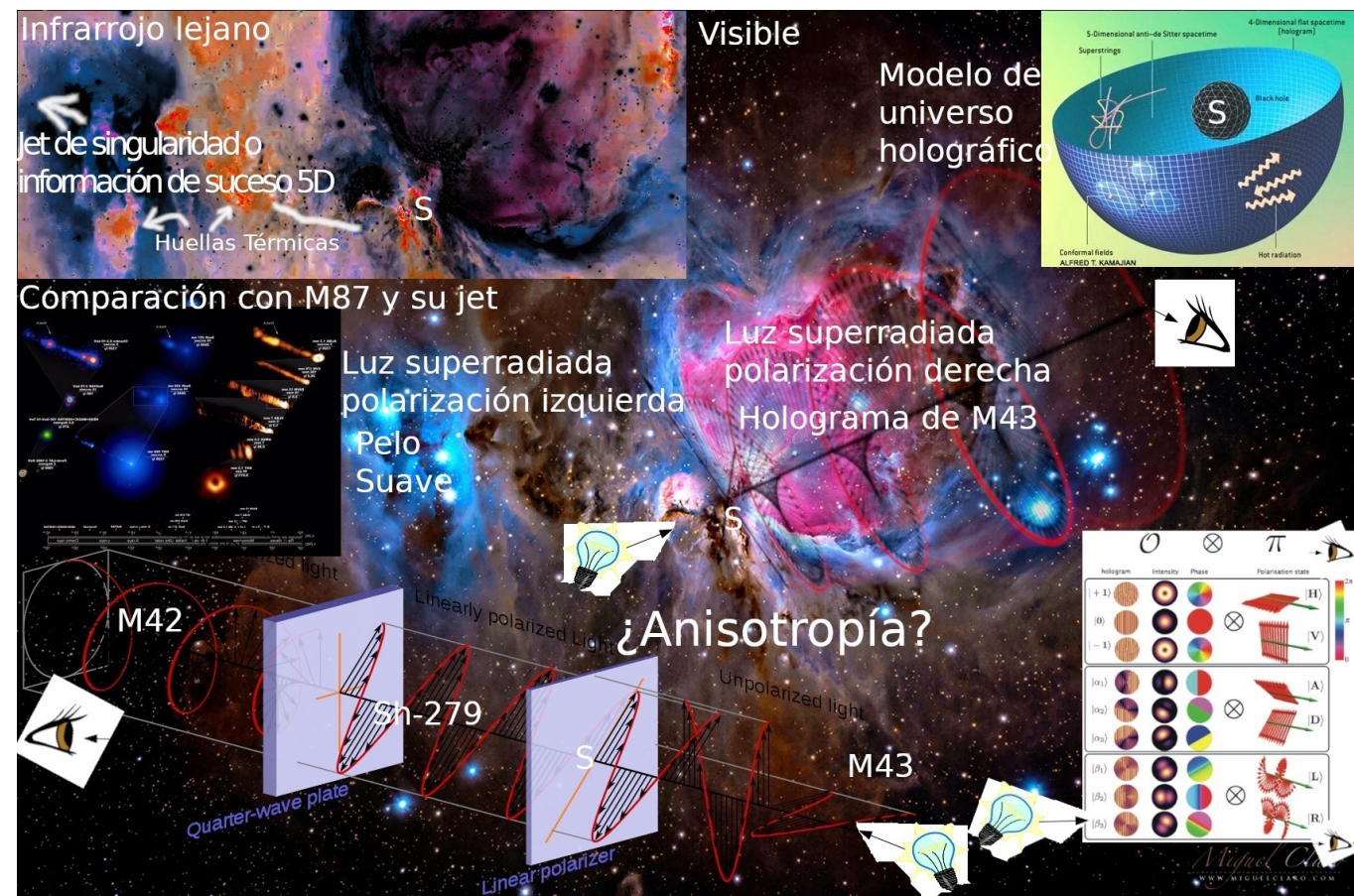
II. 3. Modelo $AdS_{n \geq 5}$ con constante cosmológica negativa por debajo de la longitud de Planck, singularidad rotatoria entre M43, Sh2-279 y M42. Continuidad lumínica entre M43 y M42 de trayectoria superradiada a modo de Sh2-279.



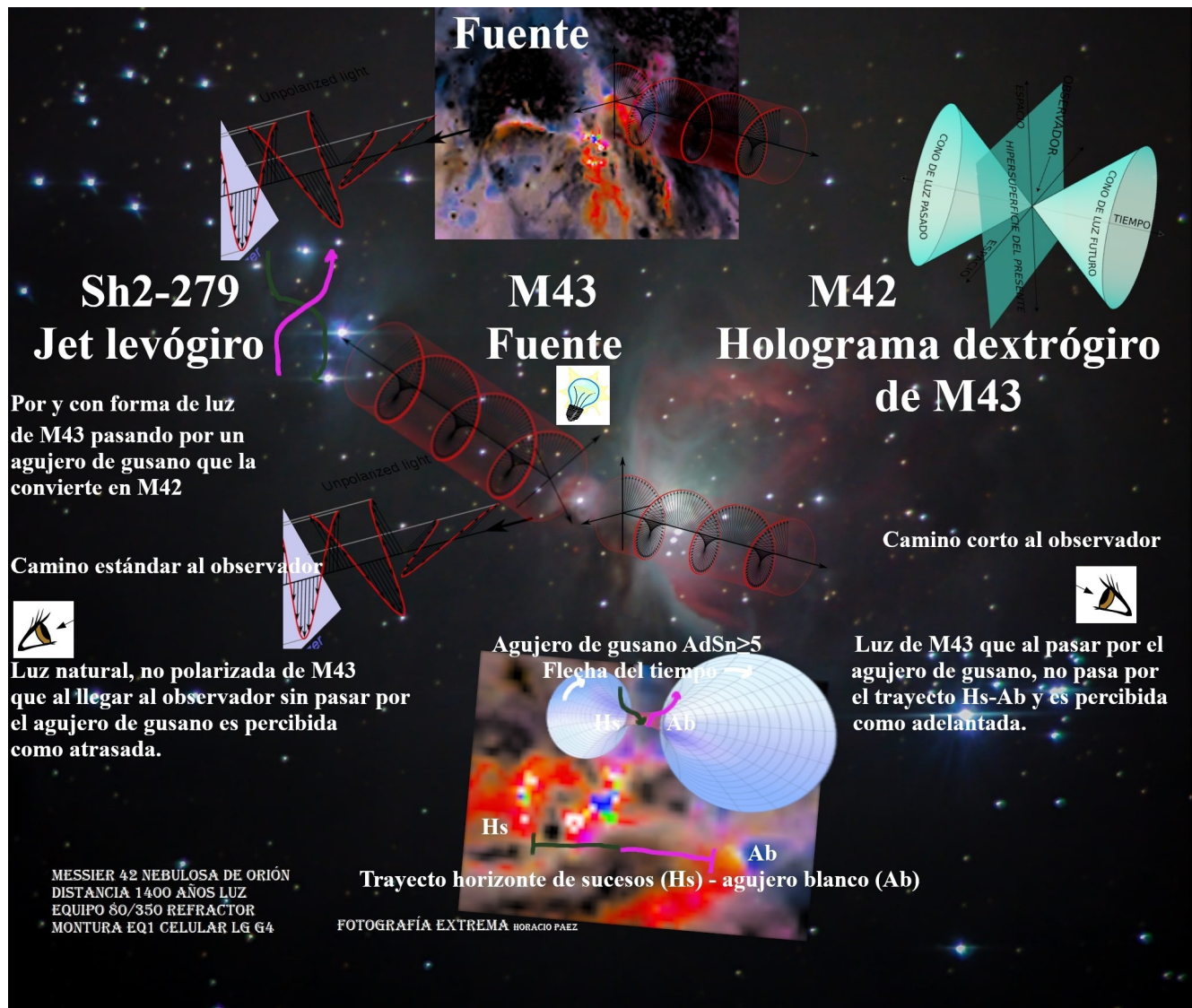
II. 4. Dualidad Maldacena. Conservación de la información por jet de singularidad superradiante o imagen 2D de acontecimiento 4D.



II. 5. Singularidad giratoria, posible superradiación y universo $AdS_{n \geq 5}$ con anisotropía.



II. 6. Hipotética velocidad superlumínica general por agujero de gusano, sin violación local a la velocidad de la luz, percibida como luz adelantada a su fuente.



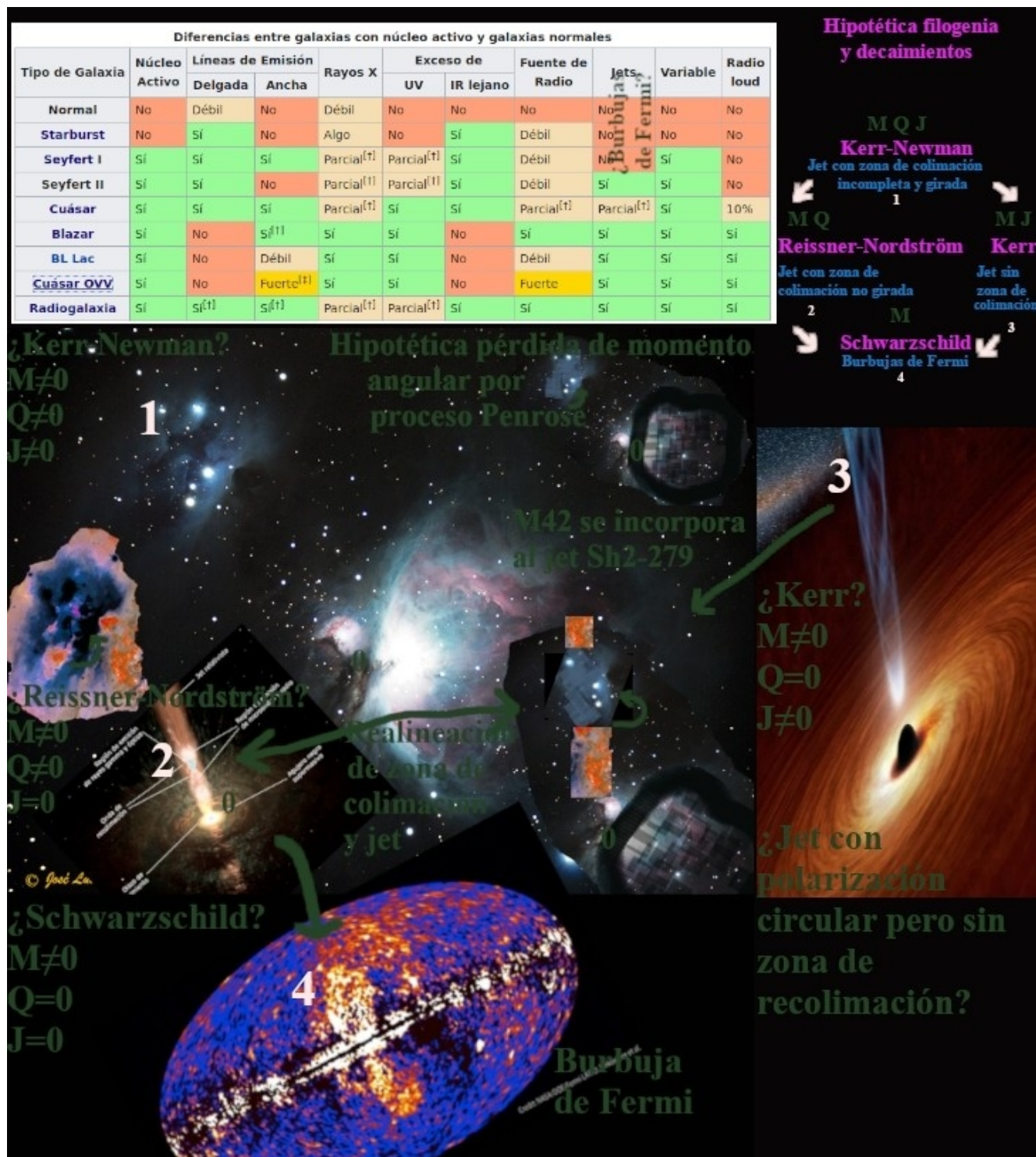
II. 7. Modelo unificado de núcleos galácticos activos contra hipotético micro blazar-cuasar.



II. 8. Hipotético caso de Kerr-Newman con censura cósmica y arquitectura Hs-S-Hs o de horizontes de sucesos no fusionados por preponderancia de masa.



II. 9. Hipotética filogenia de singularidades deducida por jets.



Vacio

- Proceso Penrose en polvo local, jets.
- Efecto Unruh y radiación de Hawking.

Estrellas, nebulosas y galaxias de fondo censuradas.

Jet peligroso microblazar SNR 276?

Reactivado jet

Subzona fuerte lejos de S

Subzona débil cerca de S

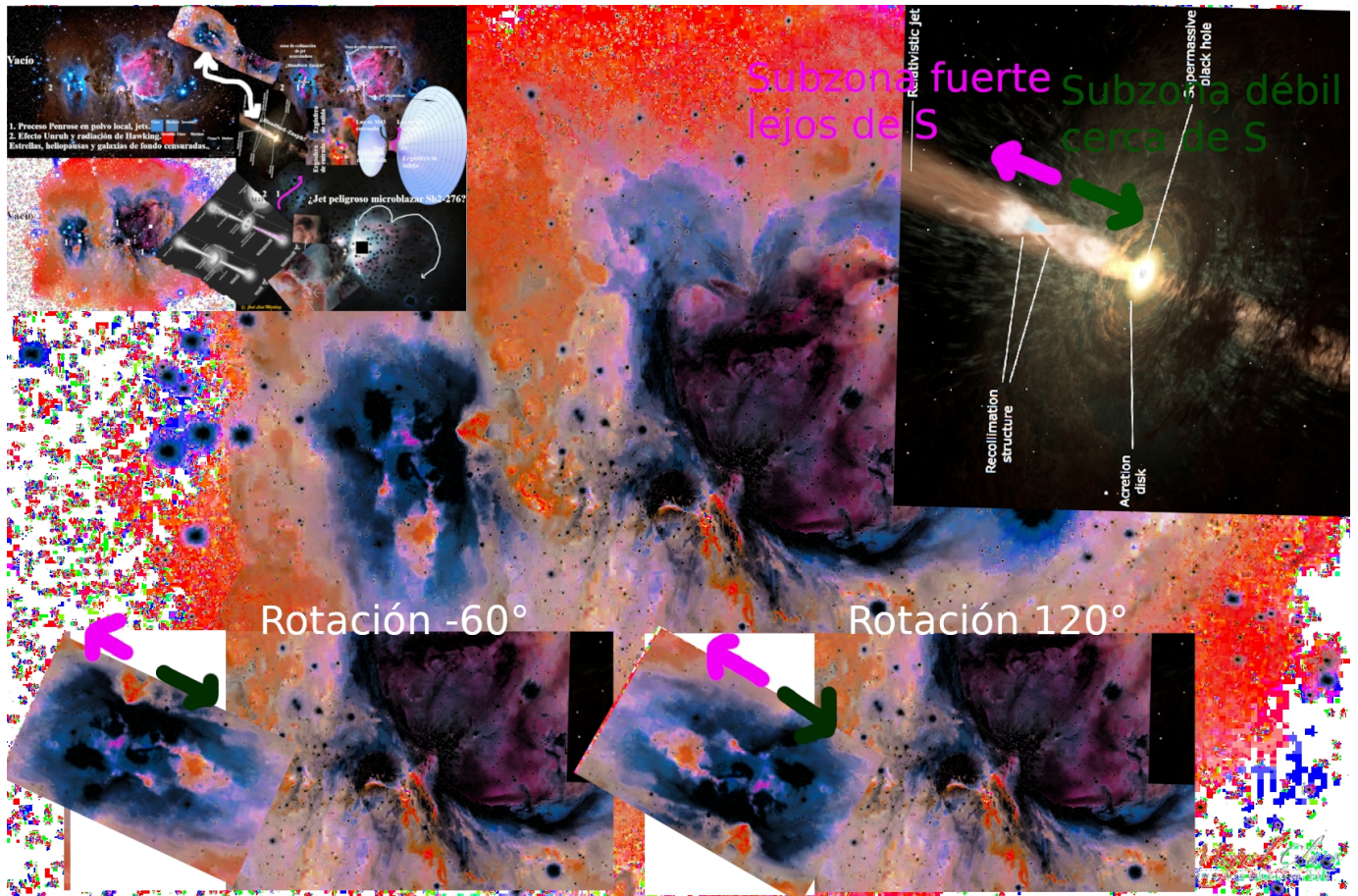
permissible black hole

Recollimation structure

Accretion disk

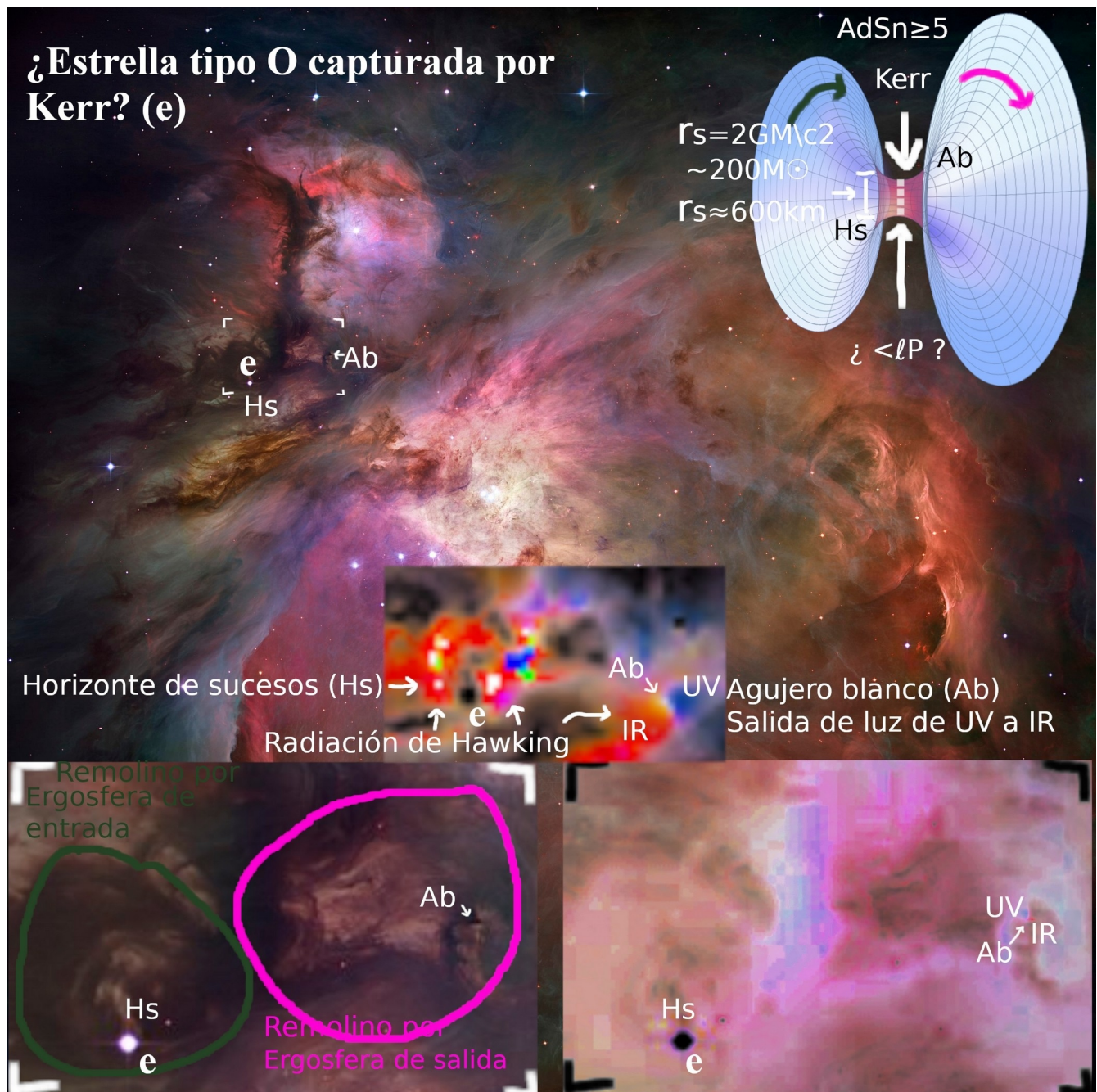
Rotación -60°

Rotación 120°

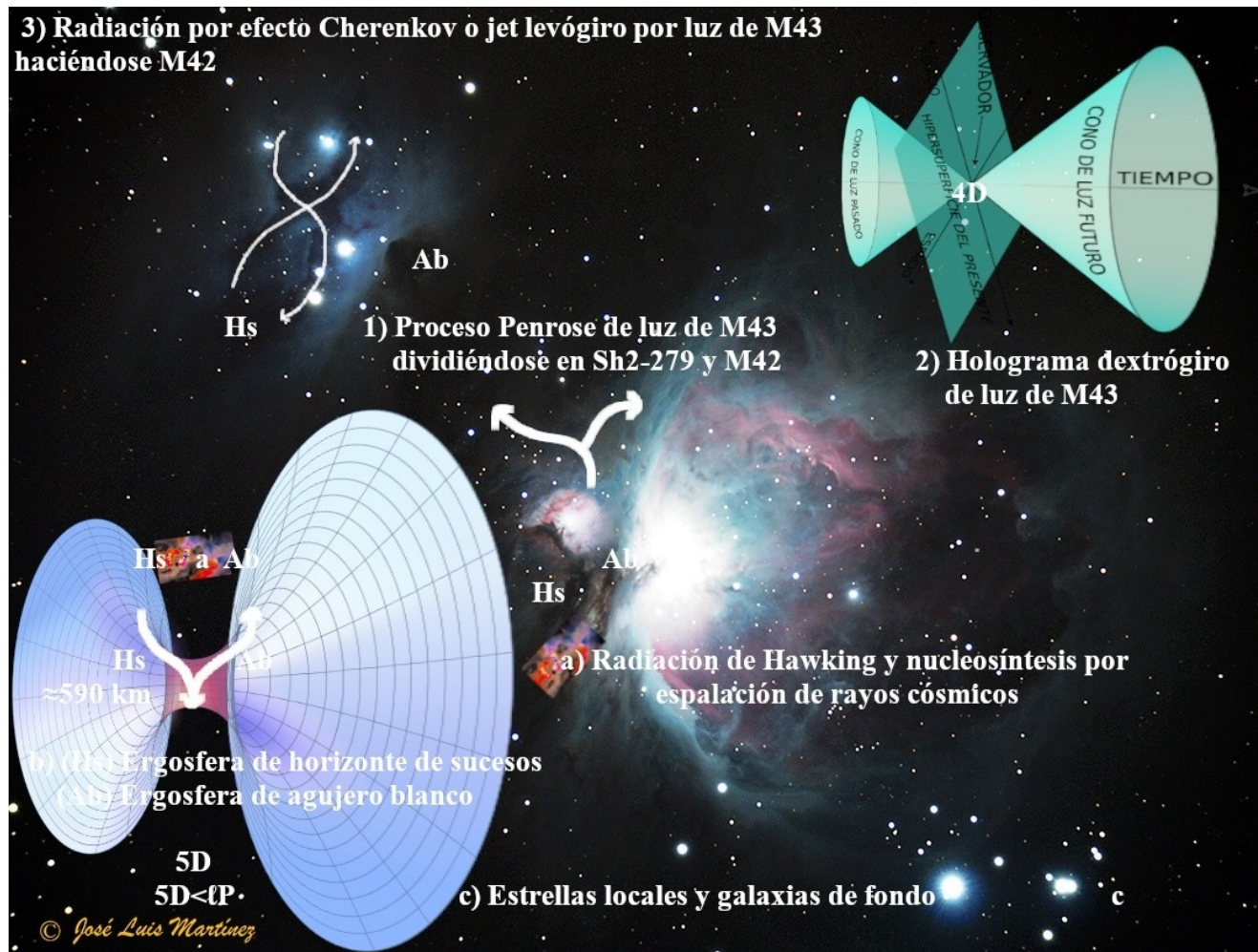


III. Posibles comprobaciones y Teoría M.

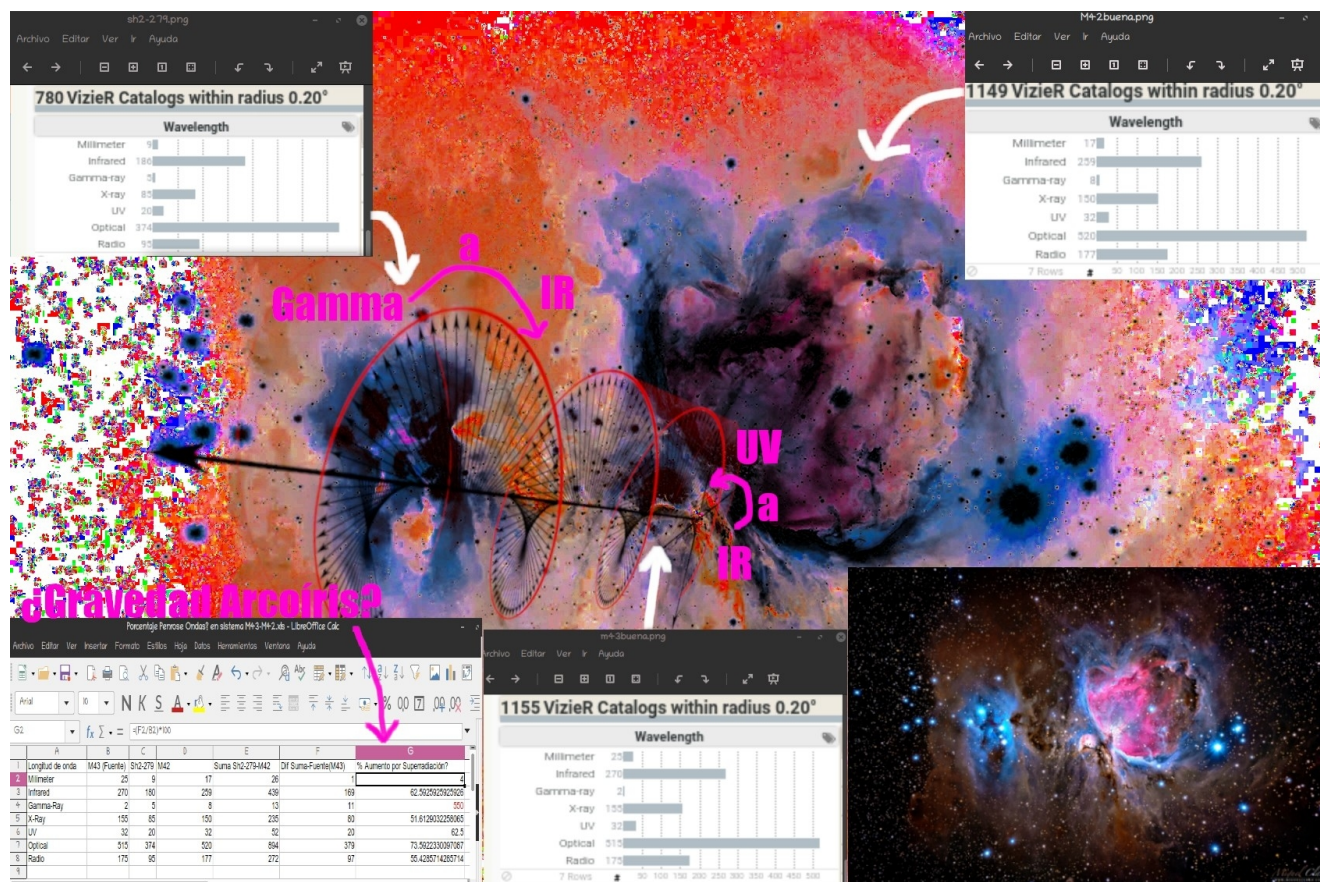
III. 1. ¿Estrella tipo O capturada por Kerr?



III. 2. Posible Proceso Penrose de luz de M43 subdividido en holograma dextrógiro M42 y su efecto Cherenkov o jet levógiro Sh2-279.



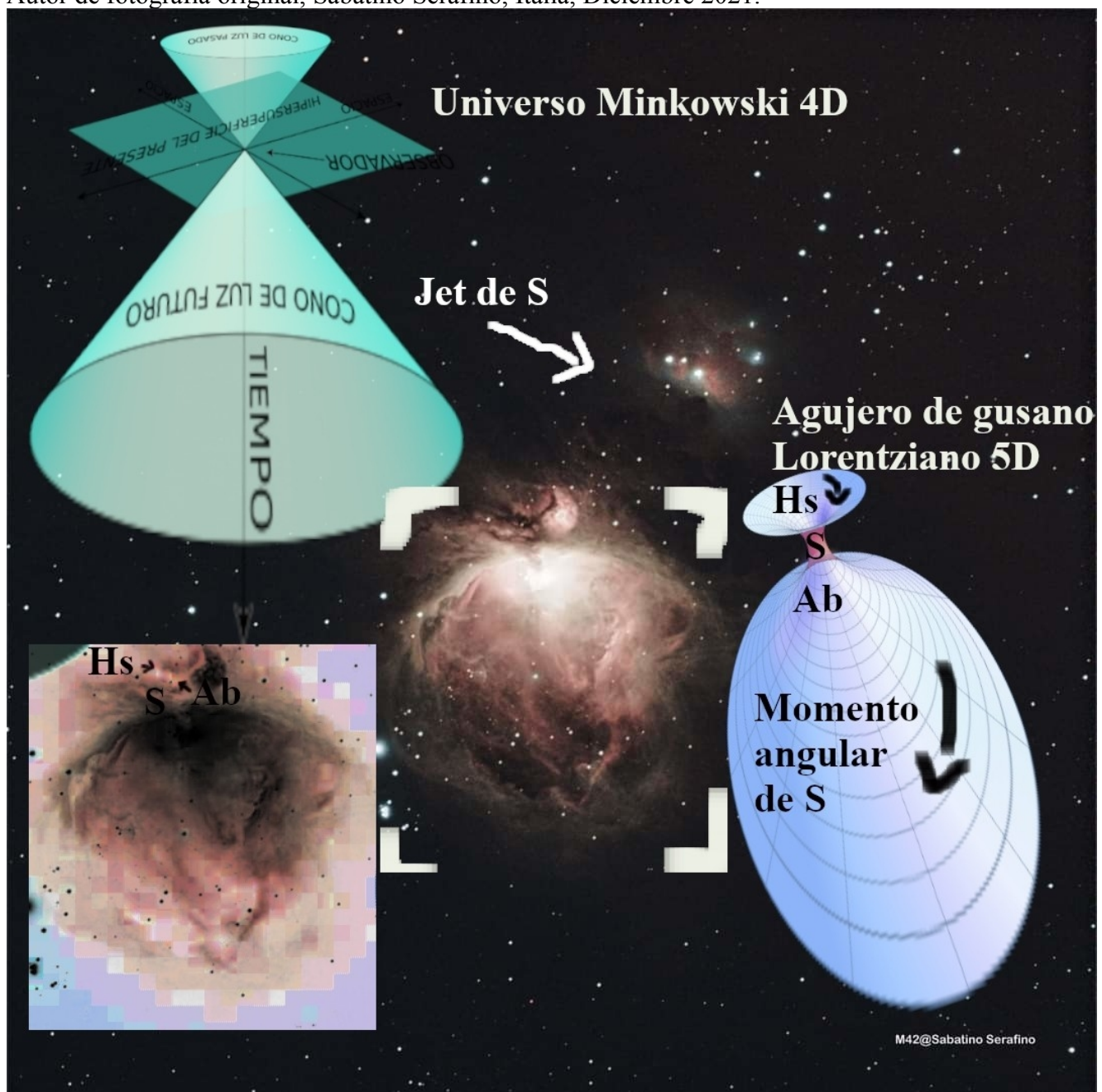
III. 3. Sh2-279 como Jet levógiro e indicios de gravedad arcoíris en análisis de longitudes de onda.



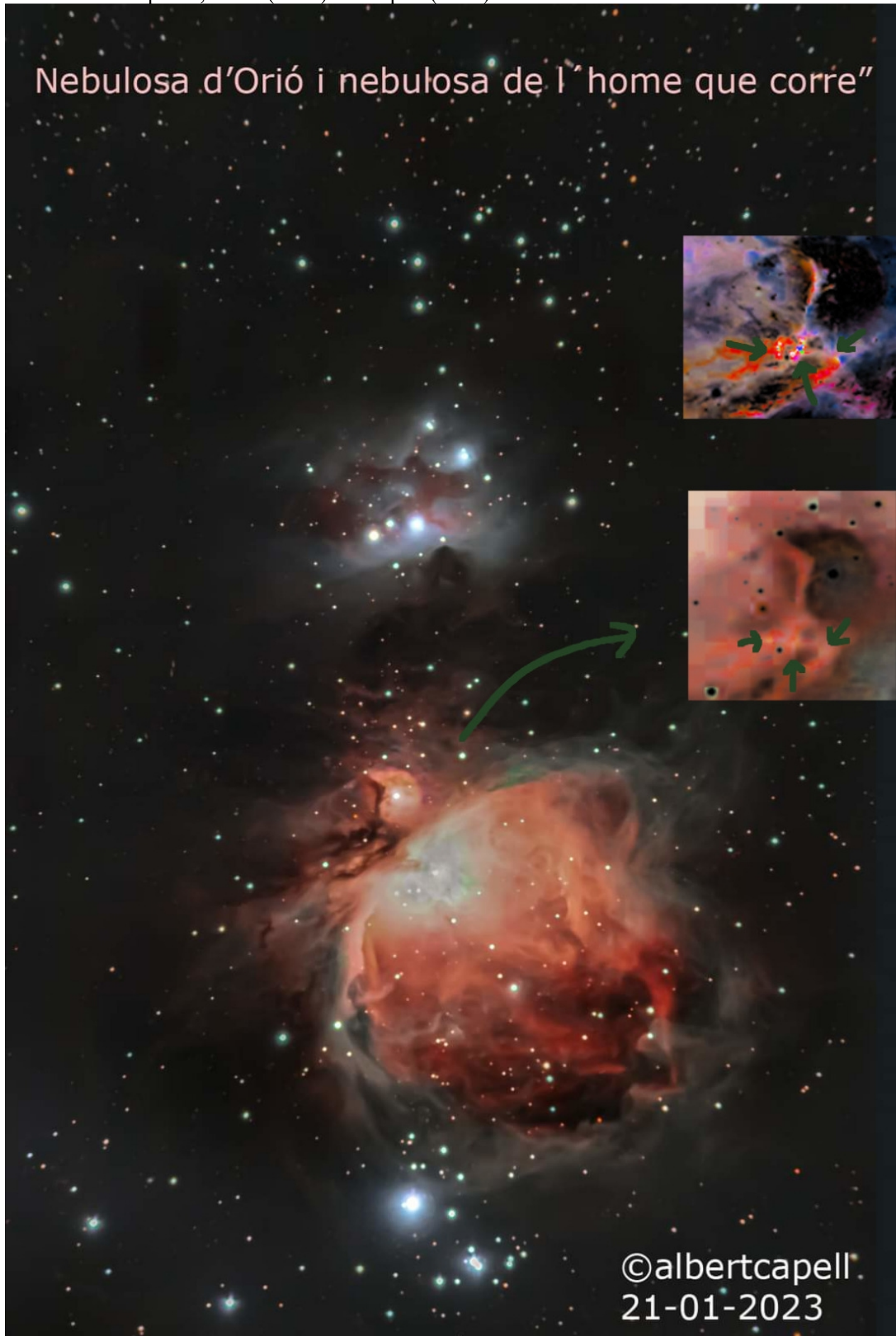


III. 5. Ejemplo de evidencia empírica.

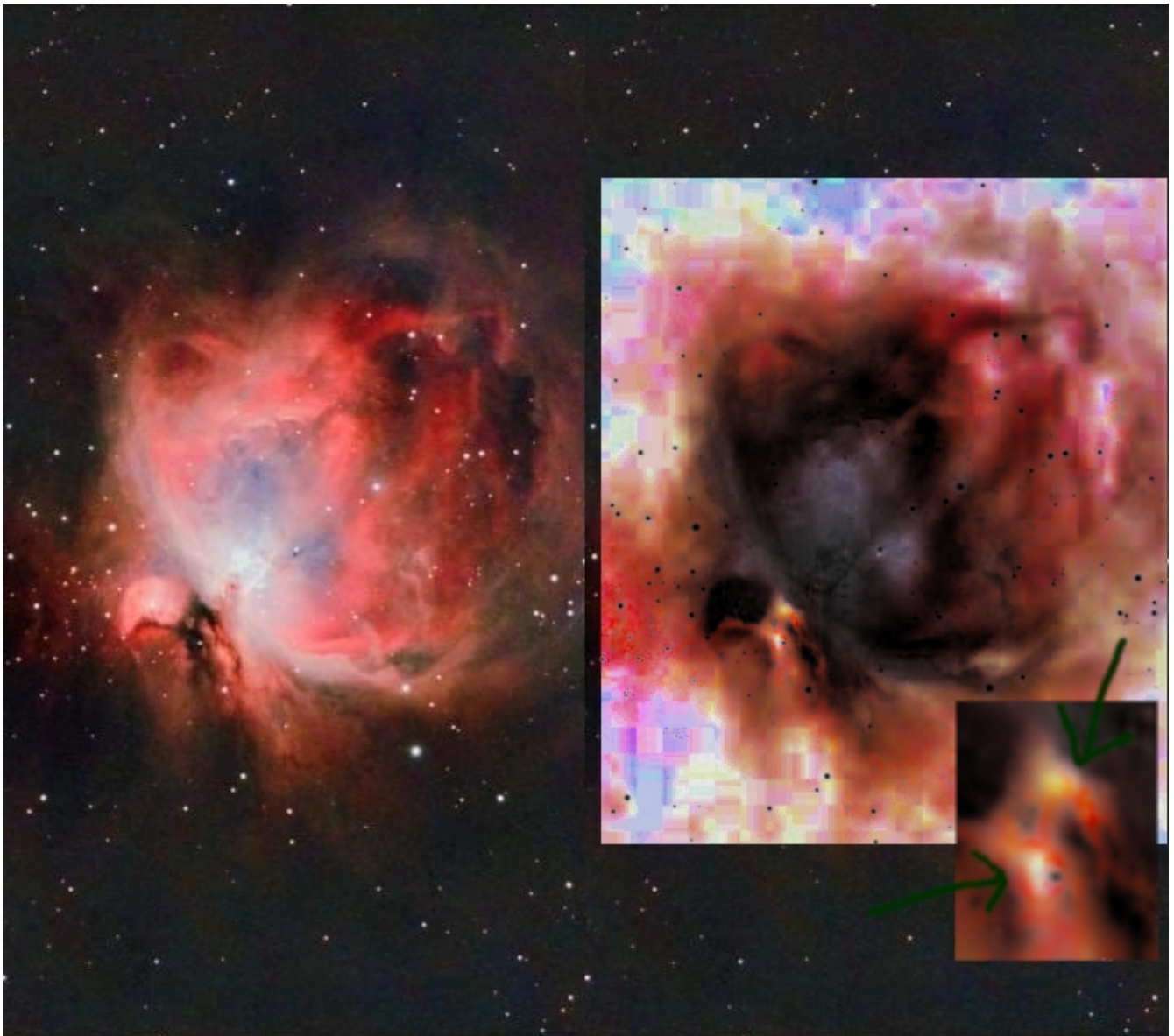
Autor de fotografía original, Sabatino Serafino, Italia, Diciembre 2021.



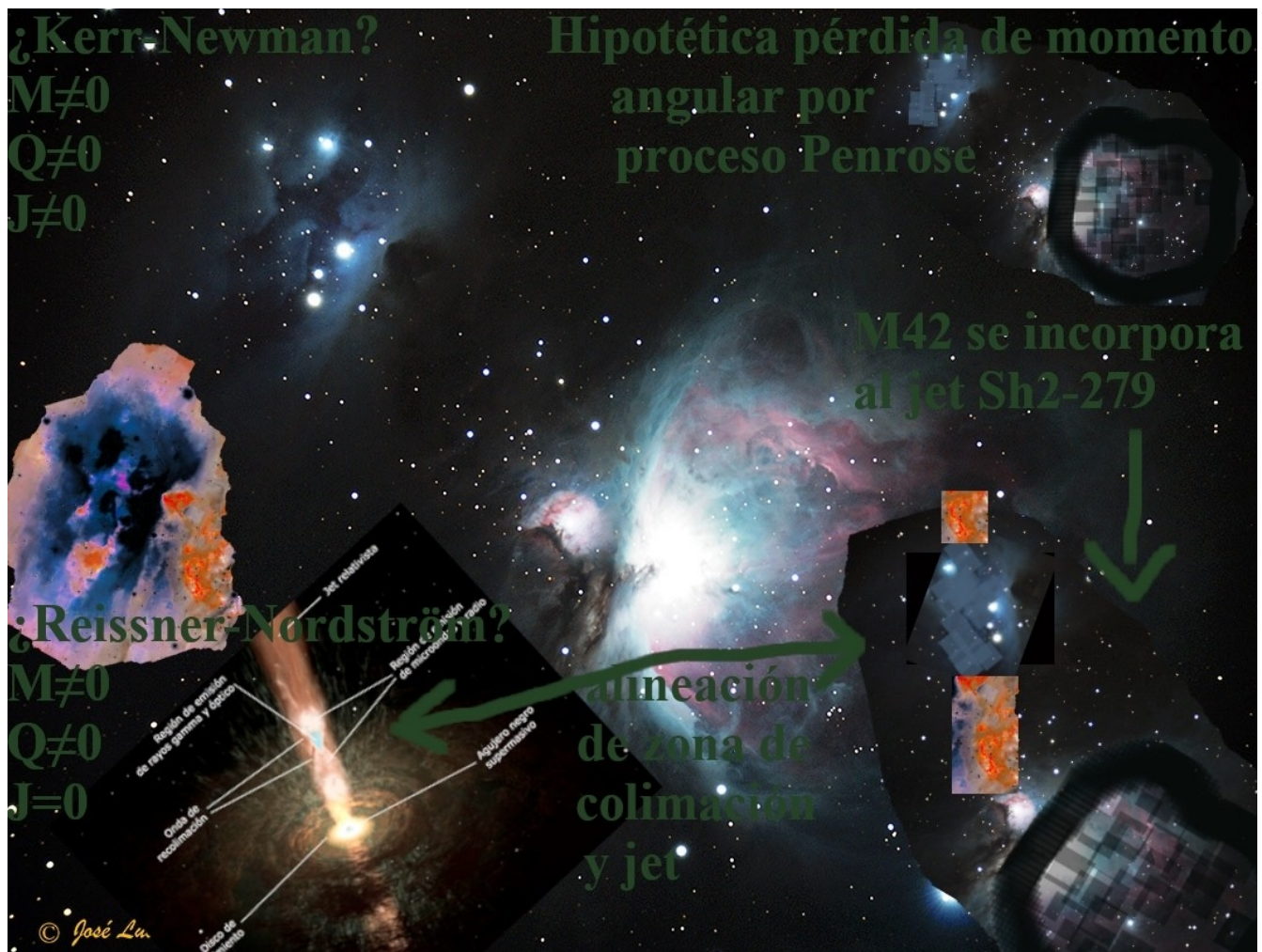
Nebulosa d'Orió i nebulosa de l'home que corre



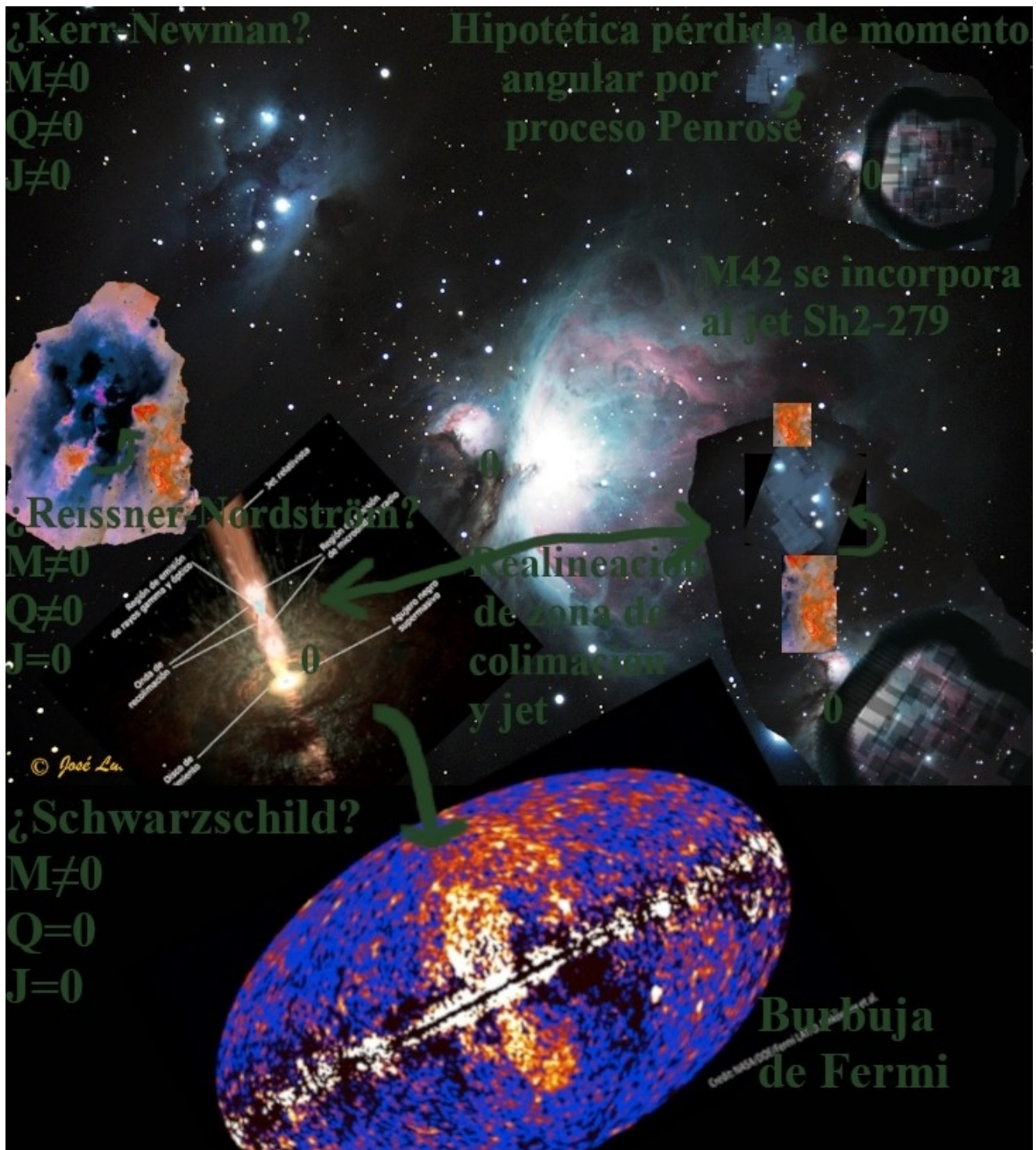
III. 7. Evidencia empírica, autor desconocido (2023).



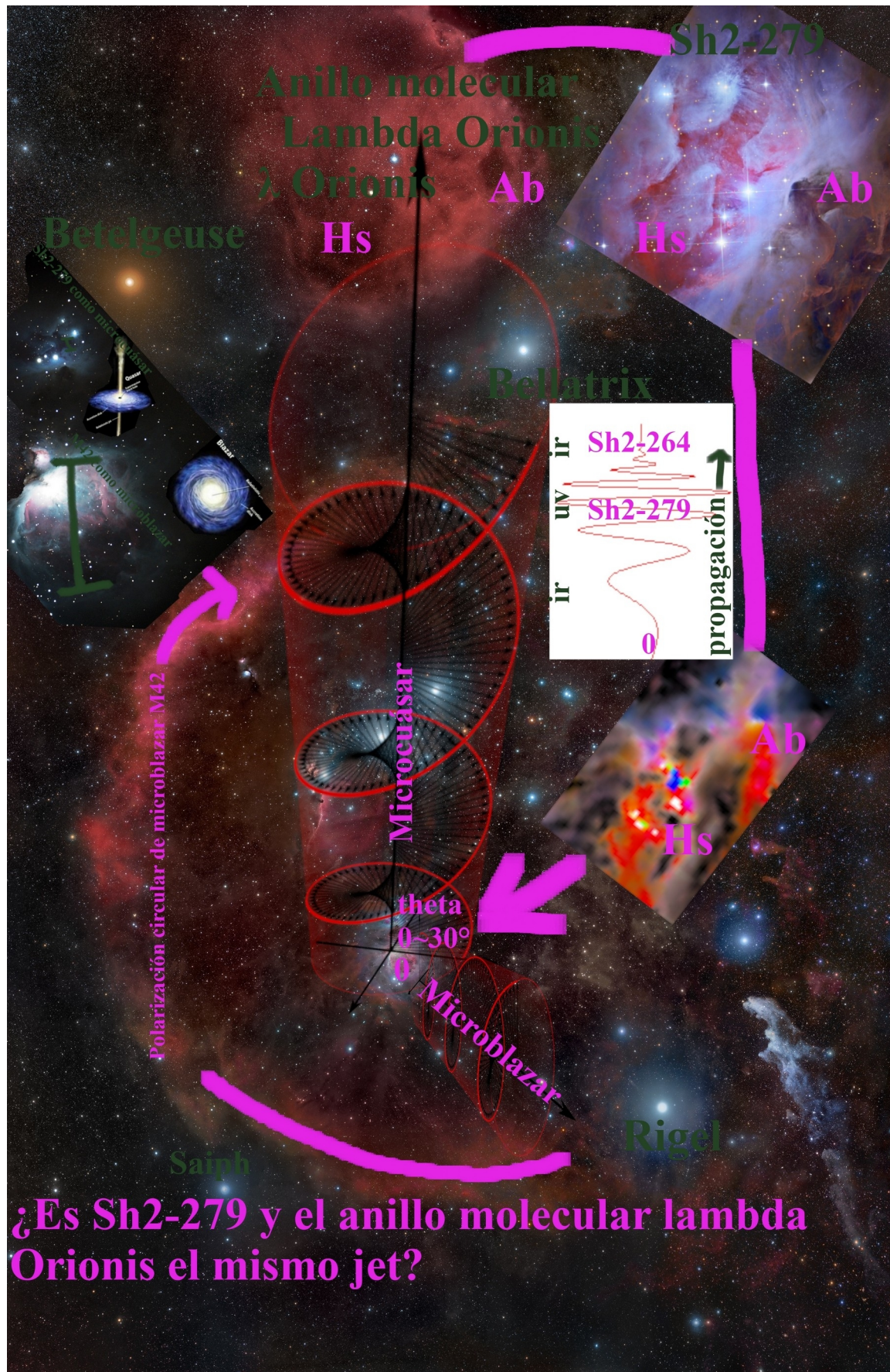
III. 8. Conjetura de Kerr-Newman masa estelar a intermedia y su posible decaimiento en Reissner-Nordström por pérdida de momento angular.



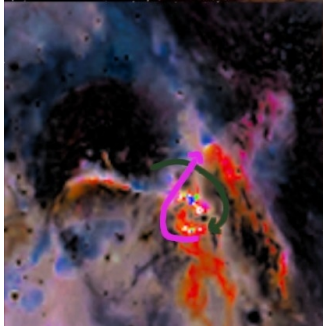
III. 9. Hipotético decaimiento Reissner–Nordström a Schwarzschild, jets vs burbujas de Fermi.



III. 10. Sh2-279 y Sh2-264 como el mismo microcuasar.



Hipotéticas trayectorias de proceso Penrose



¿Es M42 luz expandida, girada e invertida de M43?

Espacio-tiempo condensado como metamaterial doble negativo

Superlente

Hipotético espacio-tiempo entorno a Kerr como material con índice de refracción negativo.

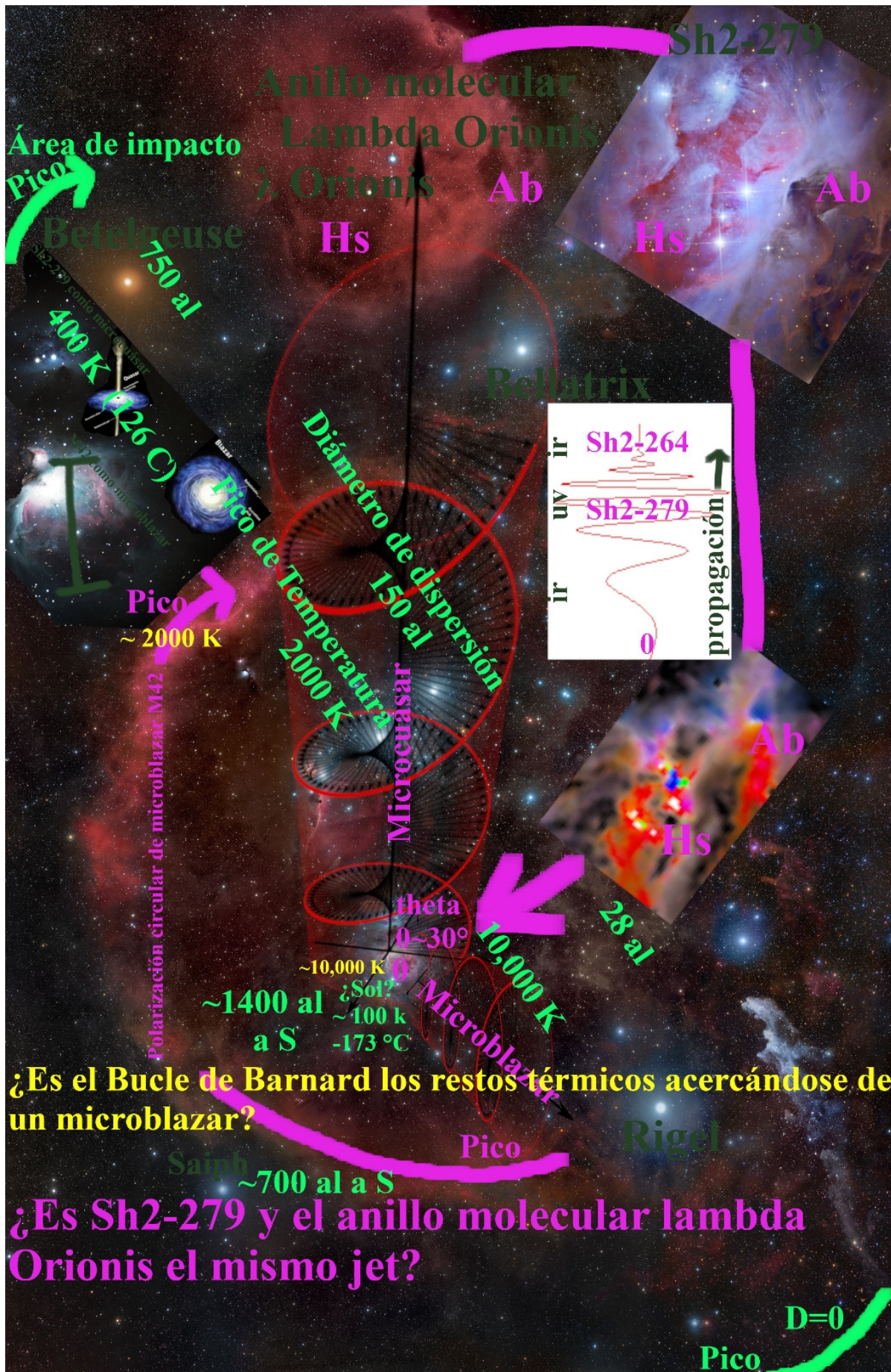
Hs

Diagrama de refracción negativa en un metamaterial. Se muestra una interfaz entre un material con índice de refracción positivo (n_2) y un metamaterial con índice de refracción negativo. La luz incidente (K) se refracta en el metamaterial (Ab) en un ángulo negativo, lo que resulta en una refracción negativa.

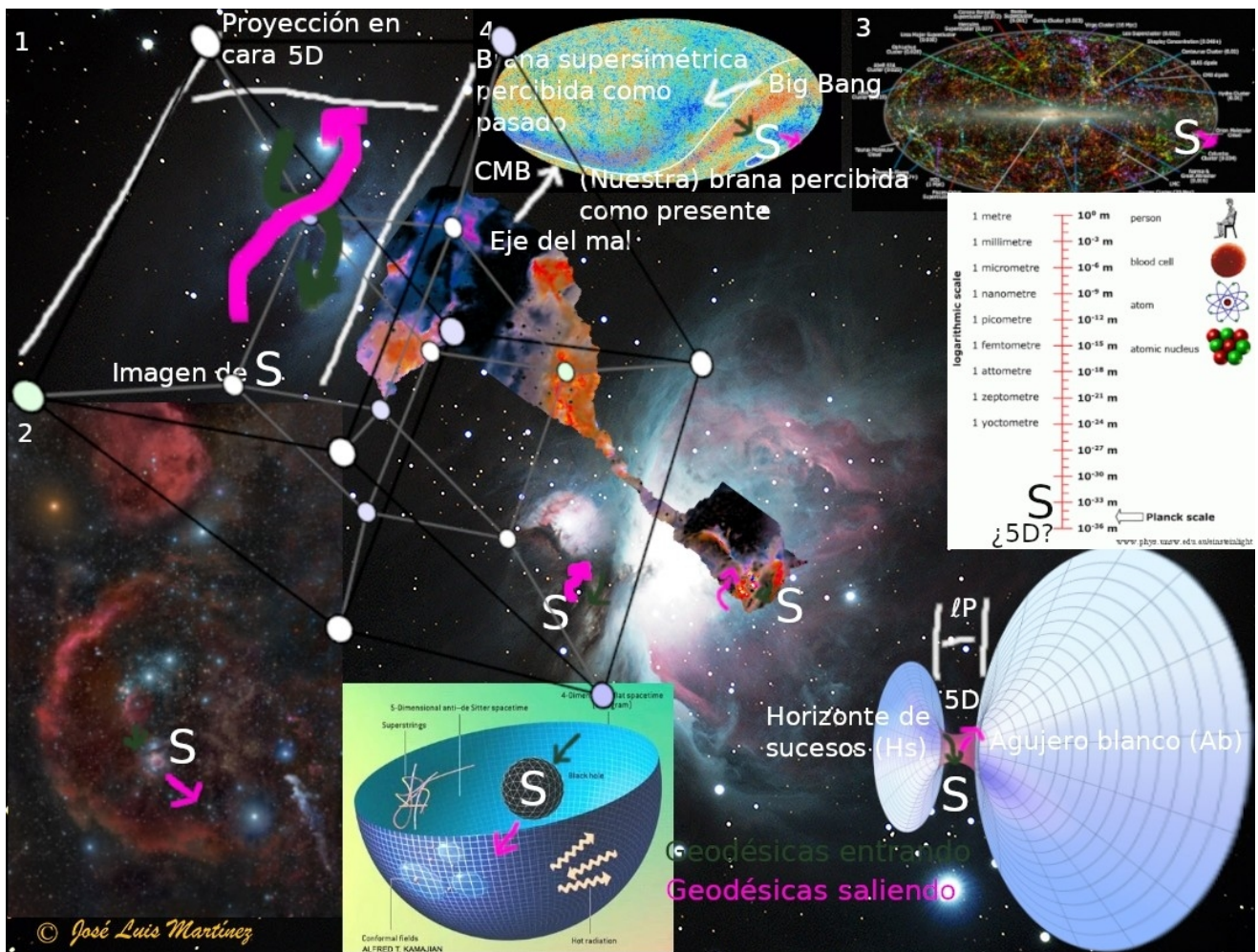
Diagrama que ilustra la refracción en un material negativo. Se muestra una interfaz entre un medio con índice de refracción positivo (n_2) y un medio con índice de refracción negativo. Una ray incidente en el medio positivo se refracta en el medio negativo, pero la ray refractada se propaga en la dirección opuesta a la normal, lo que indica un índice de refracción negativo. Se etiquetan las regiones como "índice de refracción positivo" y "índice de refracción negativo", y la zona inferior como "material negativo".

© José Luis Martínez

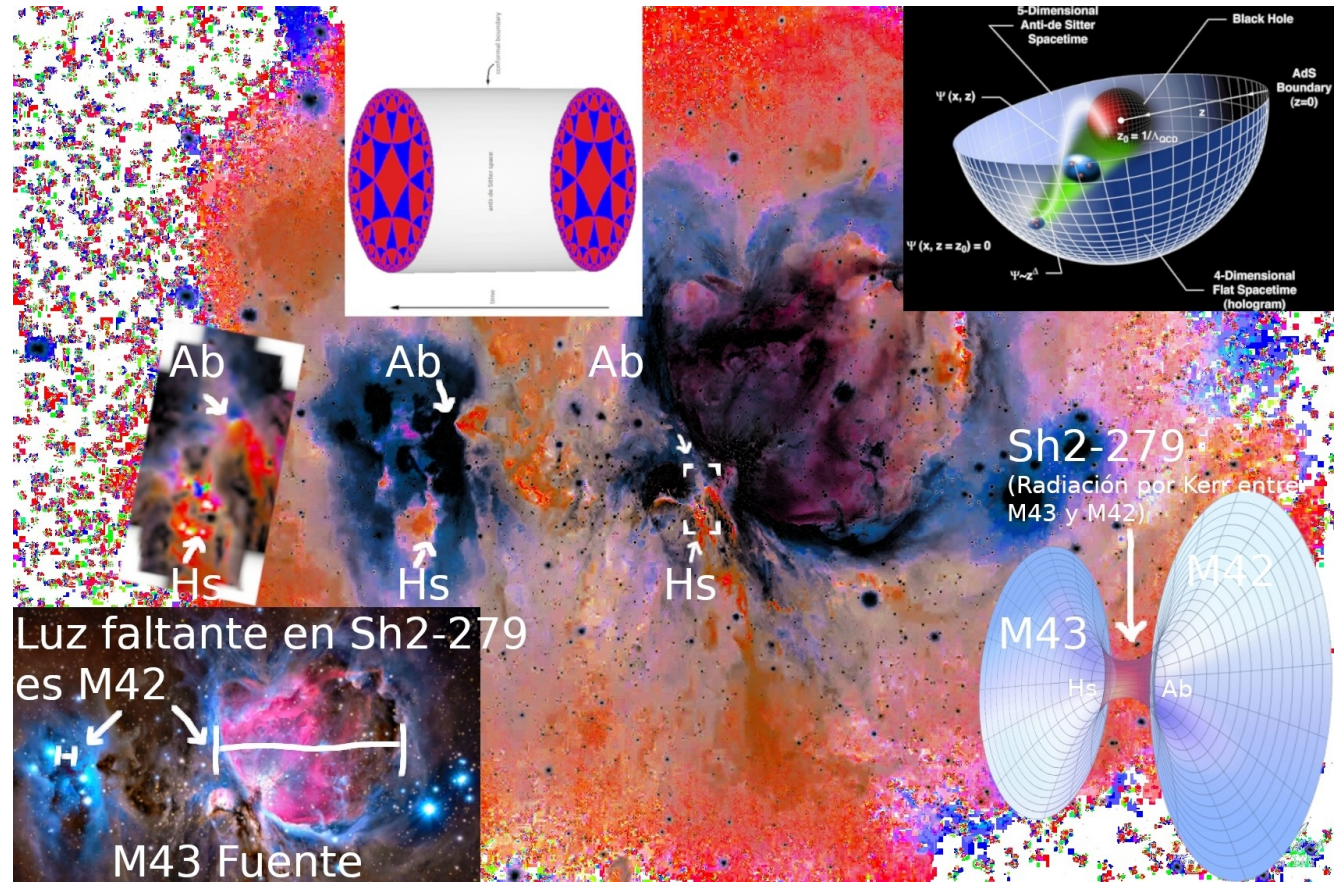
III. 13. Hipotéticas condiciones de impacto.



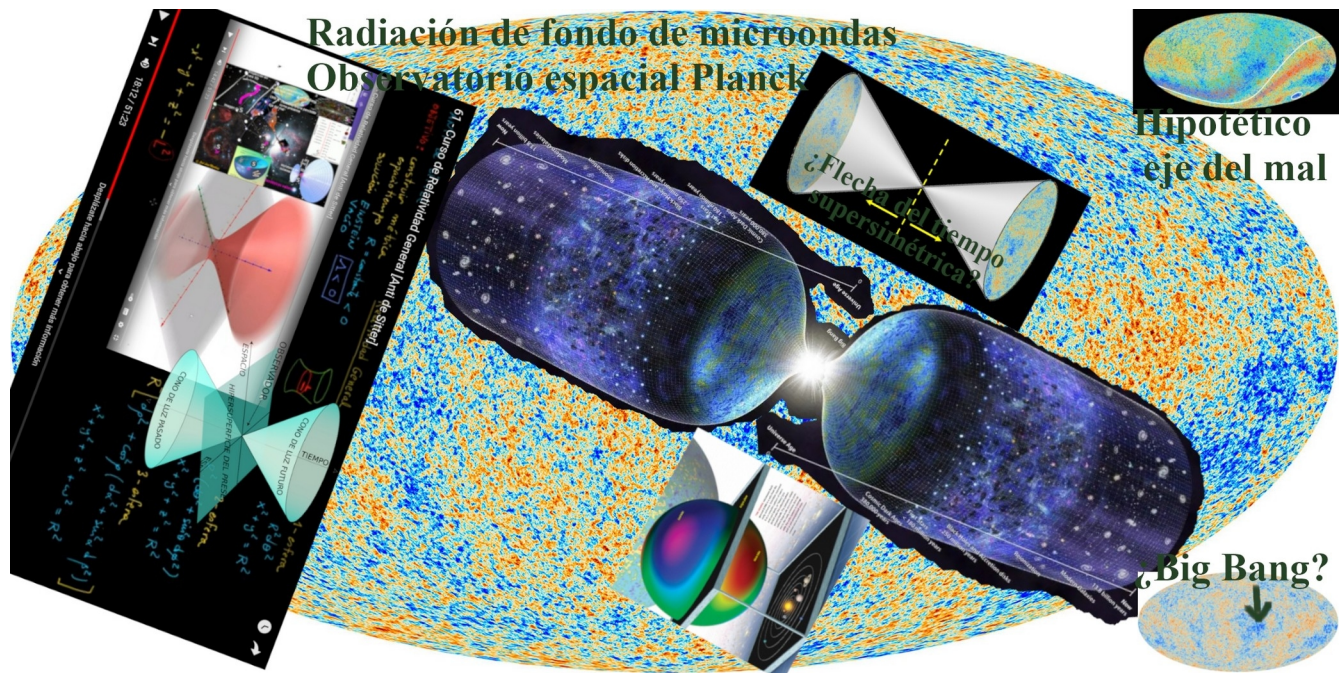
III.II. Hacia una teoría M.



III. II. 1. Correspondencia AdS-CFT en Sh2-279.



III. II. 2. Isotropía de la radiación de fondo de microondas e hipotético eje del mal como evidencia de flecha del tiempo supersimétrica y universo $AdS_{n \geq 5}$.



IV. Subconjetura del tercer jet.



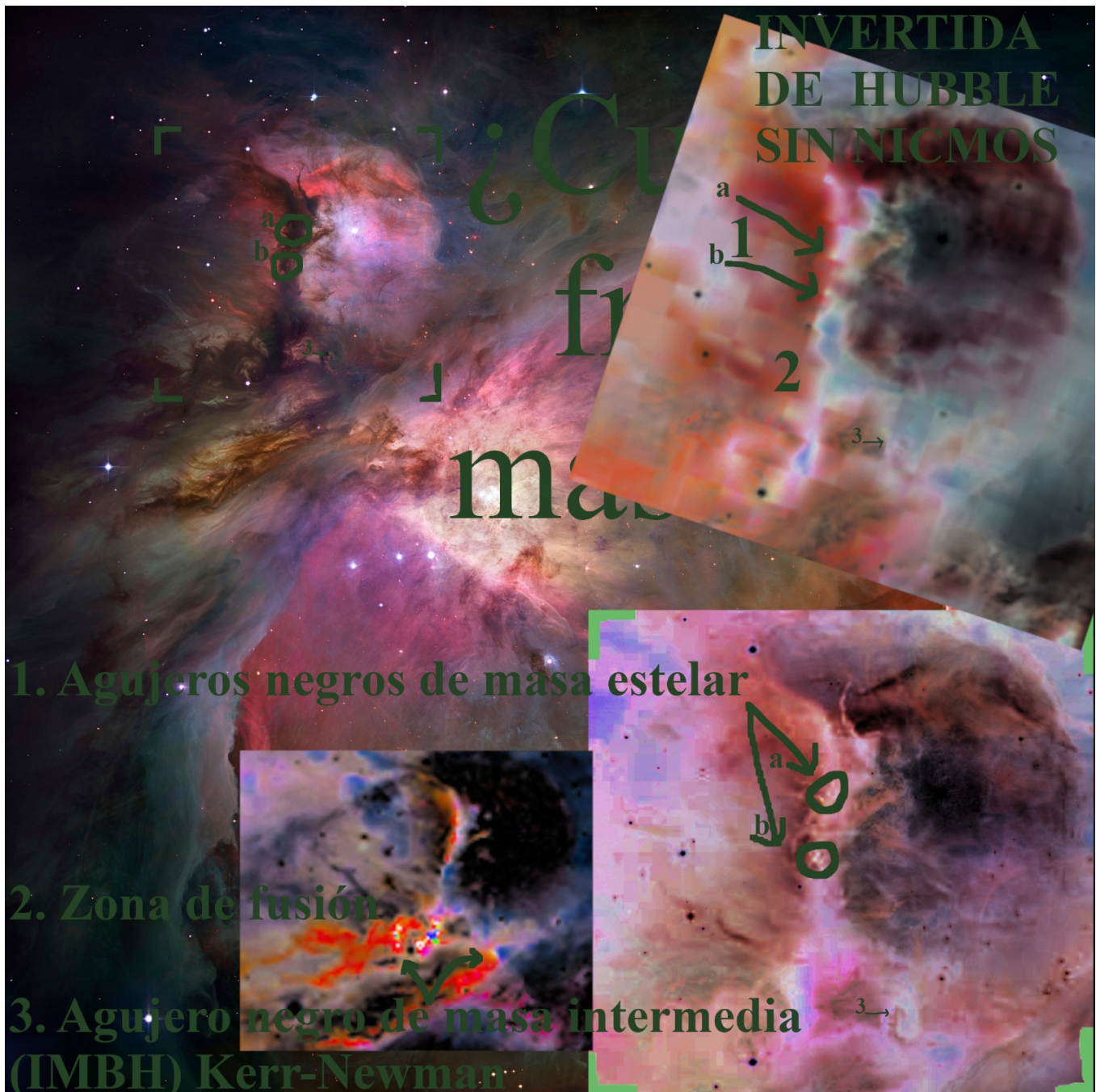
The image displays a detailed astronomical scene with a central nebula. Temperature annotations include $\sim 10,000\text{ K}$, $\sim 2,000\text{ K}$, and $\sim 10,000\text{ K}$. A large rainbow-colored spectrum bar is oriented diagonally from the bottom left towards the center. Various wave patterns and geometric shapes are overlaid on the nebula.

	A	B	C	D	E	F	G
Longitud de onda	M43 (Fuente)	Sht-279	M42		Suma Sht-279-M42	Dif Suma-Fuente(M43)	% Aumento por Supernadación?
1 Milimeter		25	9	17	26		1
2 Infrared		270	180	259	436	169	62.5925925925926
3 Gamma-Ray		2	5	8	13	11	55%
4 X-Ray		155	85	150	235	80	51.6126032256005
5 UV		32	20	32	52	20	62.5
6 Optical		515	374	520	694	379	73.5822330097067
7 Radio		175	95	177	272	97	55.4285714285714

Miguel Claro
www.miguelclaro.com

	A	B	C	D	E	F	G
	Longitud de onda	M43 (Fuente)	2C-279	M42	Suma 2C-279/M42	Diff Suma-Fuente(M43)	% Aumento por Supernovación?
1	Infrarrojo	25	9	17	26	169	62.59/29629.65
2	Visible	270	180	259	436	181	62.59/29629.65
3	Ultravioleta	2	9	8	13	11	62.59/29629.65
4	X-Ra	155	85	150	235	80	51.612932256005
5	Gamma	32	20	32	52	20	62.5
6	Radio	515	374	520	894	379	73.5222330097167
7	Optical	175	95	177	272	97	55.4285714285714

IV. 2. Subconjuntura de estelares a intermedio.



IV. 3. M43, M42 y Sh2-279 , estrellas y galaxias censuradas.



IV. 4. Tercer jet como microblazar Sh2-276, estrellas y galaxias censuradas.



IV. 5. Especulación 5D. Estrellas locales y galaxias de fondo censuradas.

